

2018

Weekly / Semanal **Influenza Report EW 52/ Reporte de Influenza SE 52**

Regional Update: Influenza & Other Respiratory Viruses /
Actualización Regional: Influenza y Otros virus respiratorios

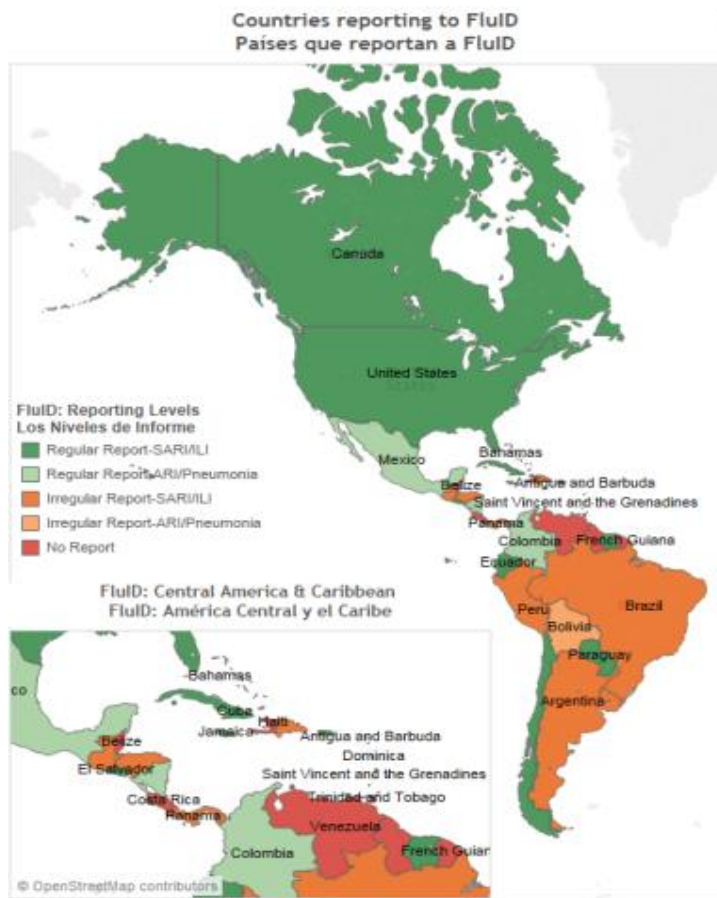


**January 7, 2019
7 de enero de 2019**

*Data as of January 4, 2019/
Datos hasta 4 de enero de 2019*

*Prepared by PHE/IHM/Influenza Team/
Realizado por PHE/IHM/Equipo de Influenza*

FluID



FluNet



Map Production /Producción del mapa: PAHO/WHO, OPS/OMS.

Data Source /Fuente de datos:

Ministries of Health and National Influenza Centers of Member States Reports to the informatics global platforms [FluNet](#) and / Informe de los Ministerios de Salud y los Centros Nacionales de Influenza de los Estados Miembros a las plataformas informáticas globales de [FluNet](#) y [FluID](#)

[Go to Index/](#)
[Ir al Índice](#)

WEEKLY REPORT DATA SOURCES

The information presented in this update is based on data provided by Ministries of Health and National Influenza Centers of Member States to the informatics global platforms
http://www.who.int/influenza/gisrs_laboratory/flunet/en/
and http://www.who.int/influenza/surveillance_monitoring/fluid/en/ ;
and reports/weekly bulletins that Ministries of Health published on its website or shared with PAHO/WHO.

La información presentada en esta actualización se obtiene a partir de los datos notificados por los Ministerios de Salud y los Centros Nacionales de Influenza de los Estados Miembros a las plataformas informáticas globales de la OPS/OMS: [FluNet](#) y [Fluid](#); y de los informes/boletines semanales que los Ministerios de Salud publican en sus páginas web o comparten con OPS/OMS.

PAHO INFLUENZA LINKS

PAHO interactive data / Datos interactivos de la OPS:

PAHO FluNet: http://ais.paho.org/php/viz/ed_flu.asp

PAHO Fluid: <http://ais.paho.org/php/viz/flumart2015.as>

Influenza Regional Reports / Informes regionales de influenza:

In English: <http://www.paho.org/influenzareport>

En español: www.paho.org/reportesinfluenza

Severe acute respiratory infections network - SARinet
Red de las infecciones respiratorias agudas graves - SARinet:

<http://www.sarinet.org>

[Go to Index/](#)
[Ir al Índice](#)

REPORT INDEX

ÍNDICE DE LA ACTUALIZACIÓN

Section	Content	Page
1	<u>Weekly Summary / Resumen Semanal</u>	5
2	<u>Overall Influenza and RSV circulation / Circulación general de los virus influenza y VSR</u>	6
3	<u>Weekly and Cumulative numbers / Números semanales y acumulados</u>	7
4	<u>Epidemiological and Virologic update by country / Actualización epidemiológica y virológica por país</u>	8
5	<u>Acronyms / Acrónimos</u>	31

WEEKLY SUMMARY (ENGLISH)

North America: Overall, influenza activity increased in [Canada](#) and the [United States](#), with influenza A(H1N1)pdm09 predominating. In [México](#), high influenza-associated SARI activity was reported with predominance of influenza A(H1N1)pdm09.

Caribbean: Influenza virus activity decreased and higher RSV activity was reported throughout most of the sub-region. In [Cuba](#) and [Haiti](#), high SARI activity was due to influenza A(H1N1)pdm09 circulation. Bronchiolitis consultations remained above seasonal levels in the [French Territoires](#).

Central America: Epidemiological indicators remained at moderate levels and influenza activity decreased throughout the sub-region with influenza A(H1N1)pdm09 and B co-circulating. In [Panama](#) and [Guatemala](#) RSV circulation continued elevated. In [Costa Rica](#) and [Nicaragua](#), moderate pneumonia and SARI activity were reported with increased influenza and RSV circulation.

Andean Region: Overall influenza activity decreased in the sub-region. In [Bolivia](#) and [Ecuador](#), influenza A(H3N2) and B co-circulated with low SARI activity, while in [Perú](#), influenza A(H1N1)pdm09 and SARI activity decreased.

Brazil and Southern Cone: Influenza activity was low throughout the sub-region. [Brazil](#) and [Chile](#), influenza-associated SARI cases decreased associated with influenza B detections.

Global: In the temperate zone of the northern hemisphere influenza activity continued to increase slowly. In North America influenza A(H1N1)pdm09 predominated, and both influenza A viruses circulated in Europe. In Western and Southern Asia, some countries reached medium and higher levels of influenza intensity, respectively. In the temperate zones of the southern hemisphere, influenza activity returned to inter-seasonal levels with exception of some parts in Australia. Worldwide, seasonal influenza A viruses accounted for the majority of detections

RESUMEN SEMANAL (ESPAÑOL)

América del Norte: En general, la actividad de influenza aumentó en [Canadá](#) y los [Estados Unidos](#), con predominio de A(H1N1)pdm09. En [México](#), se reportó elevada la actividad de IRAG asociada a influenza con predominio de influenza A(H1N1)pdm09.

Caribe: La actividad de influenza disminuyó y se reportó mayor actividad de VSR en la mayoría de la subregión. En [Cuba](#) y [Haití](#), el aumento de actividad de IRAG fue debida a influenza A(H1N1)pdm09. Las consultas por bronquiolitis permanecieron sobre los niveles estacionales en los [Territorios Franceses](#).

América Central: Los indicadores epidemiológicos permanecieron en niveles moderados y la actividad de influenza disminuyó en la sub-región con co-circulación de influenza A(H1N1)pdm09 y B. En [Panamá](#) y [Guatemala](#) la circulación de VSR continuó elevada. En [Costa Rica](#) y [Nicaragua](#), se reportó moderada actividad de neumonía e IRAG con mayor circulación de influenza y VSR.

Sub-región Andina: La actividad general de influenza y otros virus respiratorios aumentó en la sub-región. En [Bolivia](#) y [Ecuador](#), co-circularon influenza A(H3N2) y B con baja actividad de IRAG, en tanto en [Perú](#), la actividad de influenza A(H1N1)pdm09 y de IRAG disminuyeron.

Brasil y Cono Sur: Los niveles de influenza se ubicaron a niveles bajos en toda la sub-región. En [Brasil](#) y [Chile](#), los casos de IRAG por influenza disminuyeron asociados a detecciones influenza B.

Global: En la zona templada del hemisferio norte, la actividad de influenza continuó aumentando lentamente. En América del Norte predominó influenza A(H1N1)pdm09, y ambos virus influenza A circularon en Europa. En Asia occidental y meridional, algunos países alcanzaron niveles medios y altos de intensidad de influenza, respectivamente. En las zonas templadas del hemisferio sur, la actividad de influenza regresó a niveles interestacionales, con excepción de algunas partes en Australia. En todo el mundo, los virus de influenza A estacional representaron la mayoría de las detecciones.

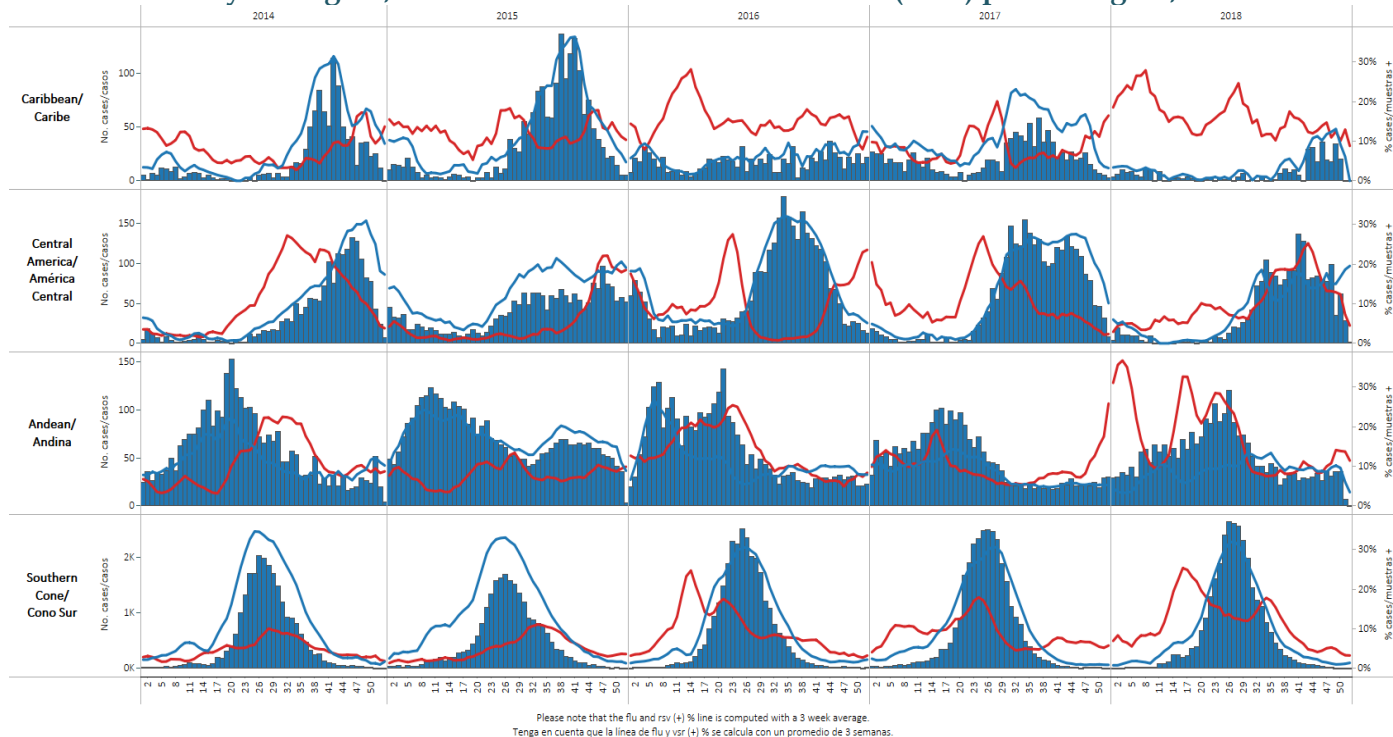
Influenza circulation by subregion, 2014-18

Circulación de virus influenza por subregión, 2014-18



Respiratory syncytial virus (RSV) circulation by subregion, 2014-18

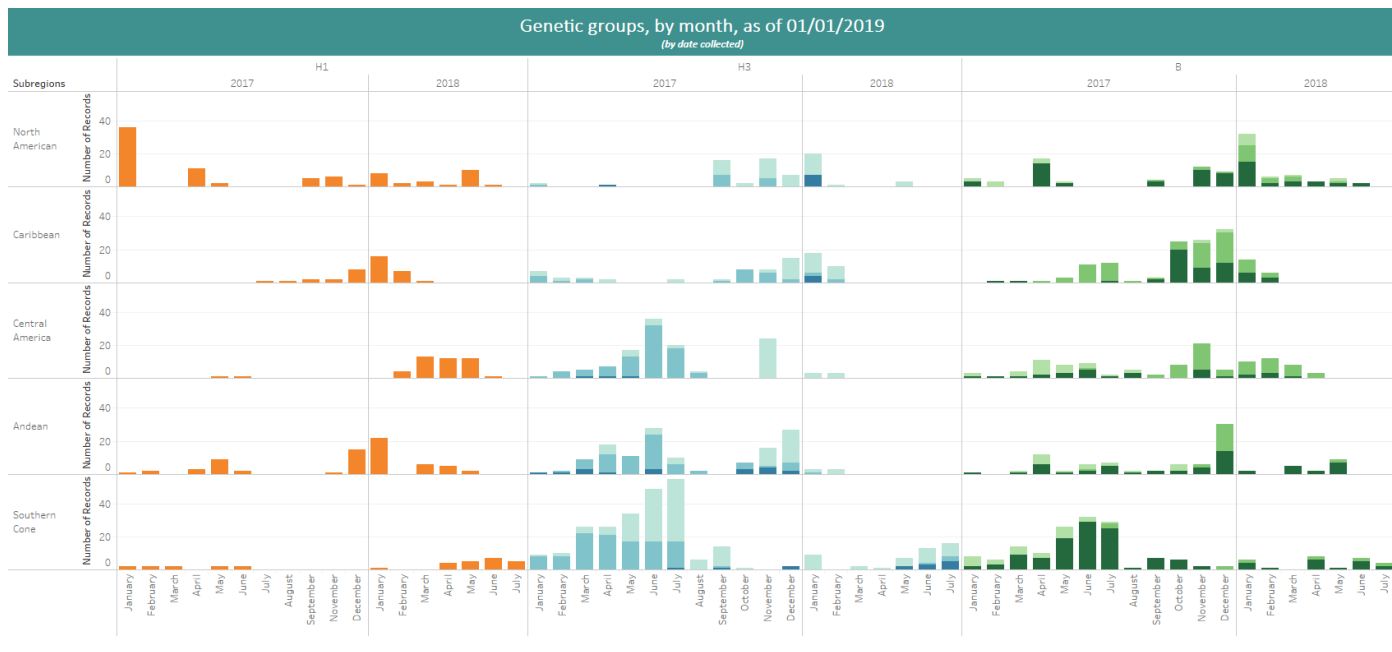
Circulación de virus sincicial respiratorio (VSR) por subregión, 2014-18



*To view more lab data, view [here](#). / Para ver mas datos lab, vea [aquí](#).

Genetic Characterization of Influenza Virus by Subregion, 2017-18

Caracterización Genética de los Virus Influenza por Subregión, 2017-18



These data are from the WHO –Collaborating Center at the U.S. CDC.
Estos datos son recolectados desde el CC de la OMS en el CDC de EE. UU.



Weekly and cumulative numbers of influenza and other respiratory virus, by country and EW, 2018¹ Números semanales y acumulados de influenza y otros virus respiratorios, por país y SE, 2018²

EW 52, 2018 / SE 52, 2018

		N samples/ muestras	Influenza A(H3N2)	Influenza A(H1N1) pdm09	Influenza A non- subtyped*	Influenza A not sub- typeable/..	B Victoria	B Yamagata	B lineaje no determina- do	Influenza (+) %	Adenovir..	Parainflu..	RSV/VSR	% RSV/VSR (+)	Bocavirus	Coronavi..	Metapne..	Rhinovirus	% All Positive Samples (+)
North America/ América del Norte	Mexico USA	213 27,459	1 52	63 439	0 3,563	5 0	0 6	0 2	0 110	32.4%	0 0	0 0	3 0	1% 0%	0 0	0 0	0 0	0 0	33.8% 15.2%
Central America/ América Central	El Salvador* Guatemala Panama	1 4 4	0 0 0	0 0 0	0 0 0	0 0 0	0 0 0	0 0 0	0.0% 0.0% 0.0%	0 1 0	0 1 2	0 1 0	0% 25% 0%	0 0 0	0 0 0	0 0 0	0 0 0	0.0% 75.0% 75.0%	
Andean/ Andina	Bolivia Peru	33 17	4 1	0 0	0 1	0 0	0 0	0 0	12.1% 11.8%	0 0	0 0	0 0	0% 0%	0 0	0 0	0 0	0 0	12.1% 11.8%	
Brazil & Southern Cone/ Brasil y Cono Sur	Brazil Chile Chile_IRAG Paraguay	7 350 10 25	1 2 0 0	2 0 0 0	0 0 0 0	0 0 0 0	0 0 0 0	0 0 0 0	0.0% 2.9% 0.0% 0.0%	2 14 0 0	10 5 0 1	5 1 0 0	1% 9 0% 0%	9 0 0 0	0 0 0 0	0 0 0 0	0 0 0 0	28.6% 13.7% 10.0% 4.0%	
	Grand Total	28,123	59	504	3,564	5	6	6	113	15.1%	15	16	9	0% (+)	0	0	11	0	15.3%

These are the raw numbers provided in the country's FluNet update (Not the smoothed averages)
Estos son los números crudos proporcionados en la actualización FluNet del país (no los promedios suavizados)

*Please note blank cells indicate N/A.

*Por favor notar que las celdulas en blanco indican N/A.

* NIC laboratory data only / datos de laboratorio solo del NIC

EW 51, 2018 / SE 51, 2018

*Note: These countries reported in EW 52, 2018, but have provided data up to EW 51.
*Nota: Estos países reportaron en la SE 52, 2018, pero han enviado los datos hasta la SE 51.

		N samples/ muestras	Influenza A(H3N2)	Influenza A (H1N1) pdm09	Influenza A No subtipificado	Total Influenza B	Influenza (+) %	Adenovirus	RSV/VSR	% RSV/VSR (+)	Bocavirus*	Coronaviru..	Metapneu..	Rhinovirus*	Parainfluen..	% All Positive Samples (+)
Caribbean/ Caribe	Dominican Republic Jamaica Suriname	11 21 2	3 0 0	0 0 0	0 0 0	0 0 0	27.3% 0.0% 0.0%	0 0 0	0% 0% 0%	0 0 0	0 0 0	0 0 0	0 0 0	0 0 0	27.3% 0.0% 0.0%	
Central America/ América Central	Costa Rica Panama	58 20	2 1	4 0	0 0	0 0	10.3% 5.0%	2 1	26 5	45% 5%	0 0	0 0	0 2	6 1	58.6% 60.0%	
Brazil & Southern C..	Paraguay IRAG	23	0	0	0	0	0.0%	1	1	4%	0	0	0	0	0	8.7%
	Grand Total	135	3	7	0	0	7.4%	4	28	21%	0	0	2	6 1	37.8%	

EW 49-52, 2018 / SE 49-52, 2018

		N samples/ muestras	Influenza (H3N2)*	Influenza A(H1N1)* pdm09	Influenza A non- subtyped*	Influenza B Victoria*	Influenza B Yamagata*	Influenza B lineage undeterm..	Influenza (+) %	Adenovir..	Parainflu..	RSV/VSR*	% RSV/VSR (+)	Bocaviru..	Coronavi..	Metapne..	Rhinovirus*	% All Positive Samples (+)
North America/ América del Norte	Canada Mexico USA	70,359 2,829 121,086	68 4 408	1,520 681 1,965	2,121 0 12,413	0 10 32	0 21 20	28 11 574	5.3% 27.5% 12.7%	152 3 0	217 1 0	870 12 0	1.2% 0.4% 0%	0 0 0	176 2 0	71 9 0	638 28.8% 12.7%	
Caribbean/ Caribe	Belize Cuba Cuba IRAG Dominican Republic Haiti Jamaica Suriname	24 83 62 37 116 89 11	0 0 5 0 4 0 0	0 7 1 11 0 0 0	0 1 1 0 0 0 0	0 0 0 0 0 0 0	0 2 0 0 0 4 0	0.0% 18.1% 11.3% 29.7% 3.4% 4.5% 0.0%	0 2 0 0 0 1 0	3 21 0 1 0 1 0	12.5% 25.3% 33.9% 2.7% 0.0% 6.7% 18.2%	0 1 1 0 0 0 0	0 0 0 0 0 0 0	0 0 0 0 0 0 0	0 0 0 0 0 0 0	12.5% 48.2% 50.0% 32.4% 3.4% 12.4% 27.3%		
Central America/ América Central	Costa Rica El Salvador El Salvador* Guatemala Honduras Nicaragua Panama	182 58 88 32 5 637 95	10 0 0 0 1 1 4	13 0 0 1 0 0 0	3 0 6 0 0 68 0	0 2 1 0 0 68 0	1 0 1 0 0 48.7% 0	14.8% 8.6% 14.8% 3.1% 20.0% 4.2%	4 0 0 2 0 8 5	1 2 0 2 0 13 5	69 34 4 2 0 13 13	37.9% 3.4% 4.5% 25.0% 0.0% 4.7% 13.7%	0 0 0 0 0 0 0	0 0 0 0 0 0 0	0 0 0 0 0 0 0	0 0 0 0 0 0 0	55.5% 12.1% 19.3% 40.6% 20.0% 20.6% 63.2%	
Andean/ Andina	Bolivia Colombia Ecuador Peru	163 278 117 129	19 12 21 4	0 2 3 3	0 0 0 0	0 6 8 4	0 2 8 0	11.7% 7.2% 27.4% 9.3%	0 9 0 0	0 6 3 1	5 38 18 1	3.1% 13.7% 15.4% 0.0%	0 6 0 0	0 8 0 0	0 2 0 0	0 4 0 0	14.7% 33.5% 45.3% 11.6%	
Brazil & Southern Cone/ Brasil y Cono Sur	Argentina Brazil Chile Chile_IRAG Paraguay Paraguay IRAG	703 657 1,820 147 215 159	0 6 5 0 1 1	1 0 1 0 0 0	0 0 29 2 0 0	0 68 11 3 0 0	0 11.4% 2.9% 3.4% 1.4% 1.3%	0.3% 0.9% 0.9% 0.7% 0.9% 0.6%	32 11 89 7 5 8	24 10 47 8 4 4	11 6 16 1 2 1	1.6% 0.9% 0.9% 0.7% 0.9% 0.6%	0 0 0 0 0 0	0 0 0 0 0 0	0 0 0 0 0 0	0 2 49 5 0 0	10.8% 16.4% 14.0% 19.7% 6.5% 9.4%	
	Grand Total	200,181	564	4,255	14,544	57	77	787	10.1%	335	336	1,160	0.6%	8	186	158	678	11.6%

Total Influenza B, EW 45-52, 2018

		Total Influenza B	B Victoria	B Yamagata	B linaje no determinado	% B Victoria	% B Yamagata
North America/ América del Norte		1,191	65	108	1,018	38%	62%
Caribbean/ Caribe		31	12	5	14	71%	29%
Central America/ América Central		190	28	21	141	57%	43%
Andean/ Andina		58	0	9	49	0%	100%
Brazil & Southern Cone/ Brasil y Cono Sur		426	71	145	210	33%	67%
	Grand Total	1,896	176	288	1,432	38%	62%

¹ The detection of respiratory viruses other than influenza depends on the diagnostic capacity of each country and monitoring system. The absence of report of other respiratory viruses does not indicate the absence of their circulation.

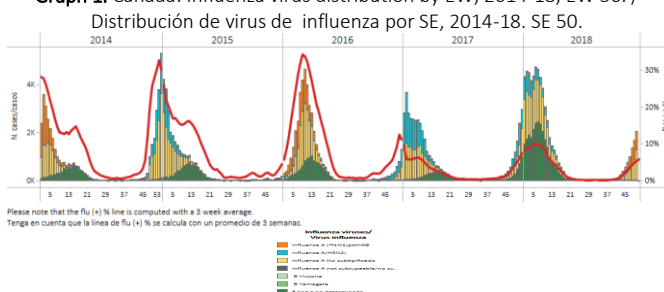
² La detección de otros virus respiratorios diferentes a influenza depende de la capacidad diagnóstica de cada país y del sistema de vigilancia establecido. El que no se reporten otros virus respiratorios, no significa, ni indica la ausencia de circulación viral.

North America / América del Norte

Canada / Canadá

- In EW 52, the percent of ILI visits at the national level was within the 5-year average for the same period (Graph 2). During EW 52, influenza activity continued to increase: 7 regions reported localized activity in Alta, Ontario, and NB; and most of the provinces and territories reported sporadic ILI activity (Graph 3). During EW 50, influenza detections increased (Graph 1) and influenza A(H1N1)pdm09 predominated among the influenza detections. RSV positivity slightly increased in recent weeks, while parainfluenza, adenovirus and coronavirus predominated among the other respiratory viruses (Graph 4). In EW 52, the pediatric hospitalizations slightly decreased above the average for 2010-2018 and peaked 4-6 weeks earlier than in recent seasons (Graph 5). A total of 414 pediatric hospitalizations were reported, with 99% of all cases associated with influenza A and mainly among the children under 9 years-of-age. From EW 35 to EW 52, 71 pediatric ICU admissions were reported, mainly among children under 10 years of age. The elderly was the most affected (53%) among influenza-associated adult hospitalizations. Less than 5 pediatric deaths were registered during the 2018-19 season. / En la SE 52, el porcentaje de consultas por ETI a nivel nacional se ubicó dentro del promedio de 5 años para el mismo período (Gráfico 2). Durante la SE 52, la actividad de influenza continuó en aumento: 7 regiones reportaron actividad localizada de ETI en Alta, Ontario, y NB; y la mayoría de los territorios y provincias reportaron esporádica actividad de ETI (Gráfico 3). Durante la SE 50, las detecciones de influenza aumentaron (Gráfico 1) y los virus influenza A(H1N1)pdm09 predominaron entre las detecciones de influenza. La positividad de VSR aumentó ligeramente en semanas recientes, en tanto parainfluenza, adenovirus y coronavirus predominaron entre los otros virus respiratorios (Gráfico 4). En la SE 52, las hospitalizaciones pediátricas disminuyeron ligeramente sobre el promedio para 2010-2018 y llegaron a un pico 4-6 semanas antes que en las previas temporadas (Gráfico 5). Se reportó un total de 414 hospitalizaciones pediátricas, con 99% de todos los casos asociados a influenza A y mayoritariamente en niños menores de 9 años de edad. Desde la SE 35 a la SE 52, se reportaron 71 admisiones a UCI pediátricas, principalmente entre niños menores de 10 años. Los adultos mayores fueron los más afectados (53%) entre las hospitalizaciones de adultos asociadas a influenza. Se registraron menos de 5 muertes pediátricas durante la temporada 2018-2019.

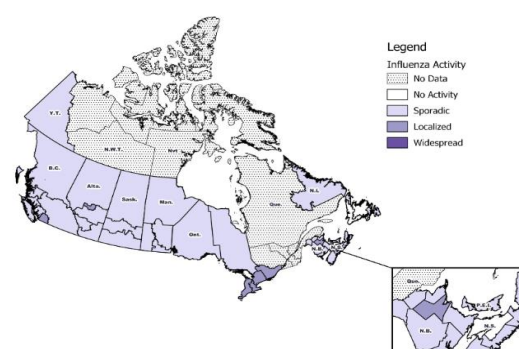
Graph 1. Canada: Influenza virus distribution by EW, 2014-18, EW 50. /



Graph 3. Canada: Influenza activity by provincial and territorial influenza surveillance regions, 2017-2018, EW 52, 2018.

Actividad de influenza por regiones de vigilancia de influenza provinciales y territoriales, 2017-2018, SE 52, 2018.

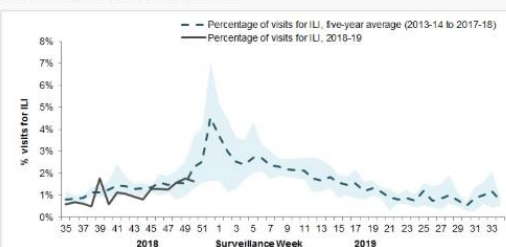
Figure 1 – Map of overall influenza/ILI activity by province and territory, Canada, week 2018-52



Graph 2. Canada: Percentage of ILI visits by sentinel sites, EW 52, 2018 (in comparison to 2012-2017 seasons)

Porcentaje de casos de ETI por sitio centinela , SE 52, 2018 (en comparación con temporadas 2012-2017)

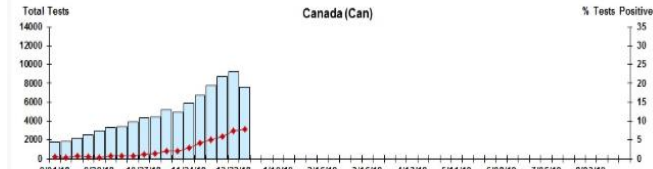
Figure 4 – Percentage of visits for ILI reported by sentinel sites by report week, Canada, weeks 2018-35 to 2018-50
Number of Sentinels Reporting in Week 50: 115

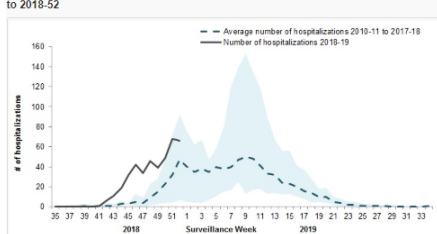


Graph 4. Canada: RSV distribution by EW, 2014-18, EW 52. /

Distribución de VSR por SE, 2014-18. SE 52.

Figure 3: Positive Respiratory syncytial virus (RSV) Tests (%) in Canada by Region by Week of Report



Graph 5. Canada: Number of pediatric hospitalizations (≤ 16 years old) by EW, EW 35-52, 2018. /Número de hospitalizaciones pediátricas (≤ 16 años) por SE, SE 35-52, 2018Figure 7 - Number of pediatric (≤ 16 years of age) hospitalizations reported by the IMPACT network, by week, Canada, weeks 2018-35 to 2018-52

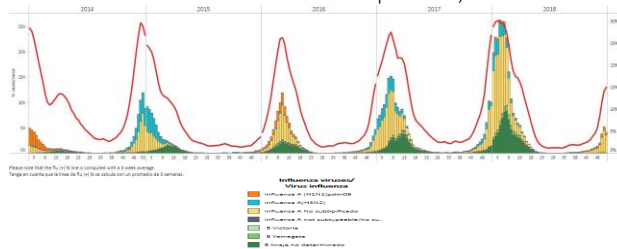
*To view more epi data, view [here](#). / Para ver mas datos epi, vea [aquí](#).

United States / Estados Unidos

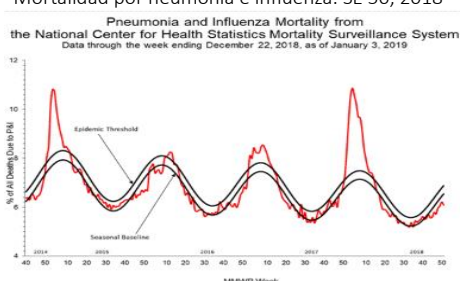
- In EW 52, ILI activity at the national level increased above the seasonal threshold of 2.2% (Graph 4). New York and 19 states (Alabama, Arizona, Colorado, Georgia, Illinois, Indiana, Kansas, Kentucky, Louisiana, Massachusetts, Mississippi, Nevada, New Jersey, New Mexico, Oklahoma, South Carolina, Texas, Utah, and Virginia) experienced high ILI activity and 9 states (Arkansas, California, Michigan, Missouri, New York, North Carolina, Pennsylvania, Rhode Island, and Vermont) experienced moderate ILI activity, with minimal activity reported in the rest of the country during EW 52 (Graph 5). Influenza detections increased during EW 52, while RSV activity remained elevated in recent weeks. Influenza A(H1N1)pdm09 and both lineages of influenza B co-circulated in recent weeks (Graph 1,2). The proportion of pneumonia and influenza deaths among all deaths was below the epidemic threshold of 6.9% for EW 50 (Graph 3). Thirteen pediatric deaths due to influenza A were reported during the 2018-2019 season. In EW 52, the overall laboratory-confirmed influenza hospitalization rate (5.4 per 100,000 population) was lower than the previous season for the same period (20.2 per 100,000 population), with the highest rates among children aged 0-4 (Graph 6) / En la SE 52, la actividad de ETI a nivel nacional aumentó sobre el umbral estacional de 2,2% (Gráfico 4). Nueva York y 19 estados (Alabama, Arizona, Colorado, Georgia, Illinois, Indiana, Kansas, Kentucky, Louisiana, Massachusetts, Mississippi, Nevada, New Jersey, New Mexico, Oklahoma, South Carolina, Texas, Utah, y Virginia) presentaron actividad de ETI elevada y 9 estados (Arkansas, California, Michigan, Missouri, New York, North Carolina, Pennsylvania, Rhode Island, y Vermont) presentaron actividad moderada de ETI, con mínima actividad reportada en el resto del país durante la SE 52 (Gráfico 5). Las detecciones de influenza aumentaron durante la SE 52, en tanto la actividad de VSR permaneció elevada en semanas recientes. Influenza A(H1N1)pdm09 y ambos linajes de B co-circularon en semanas recientes (Gráfico 1, 2). La proporción de fallecidos por neumonía e influenza del total de fallecidos se ubicó bajo el umbral epidémico de 6,9% para la SE 50 (Gráfico 3). Se reportaron trece muertes pediátricas debida a influenza A durante la temporada 2018-2019. En la SE 52, la tasa total de hospitalizaciones por influenza confirmada por laboratorio (5,4 por 100.000 habitantes) fue menor que en la temporada anterior para el mismo periodo (20,2 por 100.000 habitantes), con las tasas más altas en niños de 0-4 años (Gráfico 6).

Graph 1. US: Influenza virus distribution by EW 52, 2014-18

Distribución de virus de influenza por SE 52, 2014-18

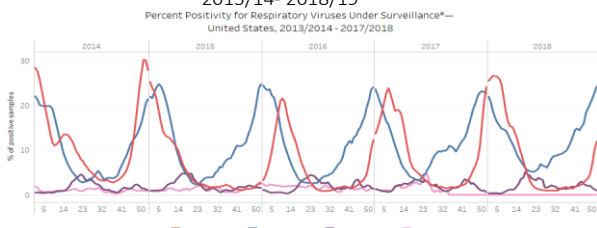
**Graph 3.** US: Pneumonia and influenza mortality. EW 50, 2018

Mortalidad por neumonía e influenza. SE 50, 2018

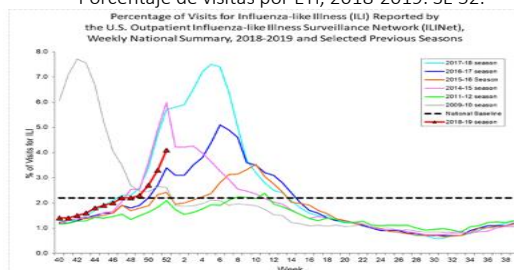
**Graph 2.** US: Percent positivity for respiratory virus EW 52

Porcentaje de positividad para virus respiratorios, por SE 52,

2013/14- 2018/19

**Graph 4.** US: Percentage of visits for ILI, 2018-2019. EW 52

Porcentaje de visitas por ETI, 2018-2019. SE 52.



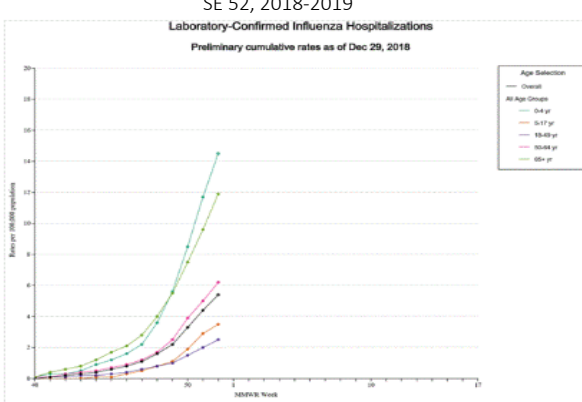
Graph 5. US: ILI activity level indicator determined by state, EW 52, 2018-2019.

Indicador de nivel de actividad de ETI por estado, SE 52, 2018-2019.



Graph 6. US: Laboratory-confirmed influenza hospitalizations rates (per 100000 population) by age group W, EW 52, 2018-2019.

Tasas de hospitalizaciones (por 100000 habitantes) por influenza confirmadas por laboratorio por grupo de edad y SE, 2018-2019.

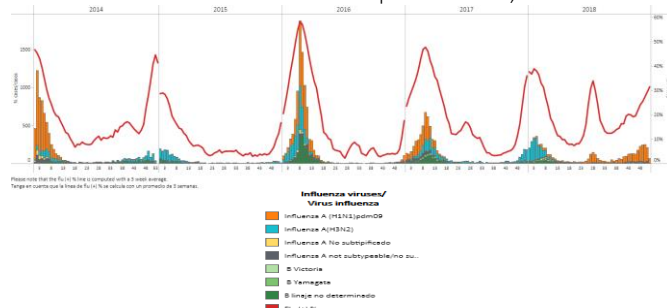


Mexico

- During EW 52, influenza activity continued to increase with influenza A(H1N1)pdm09 predominating. RSV activity increased, with co-circulation of rhinovirus, parainfluenza and metapneumovirus in the last month (Graph 1, 2). Up to EW 52, influenza-associated SARI/ILI counts were higher than the levels observed during most other seasons (Graph 3) and 143 influenza-associated SARI/ILI deaths were reported as compared from previous seasons for the same period (Graph 4, 8). In EW 52, 13 states reported higher influenza-associated SARI/ILI counts than the historic average (\geq than 2 standard deviation above): Baja California, Baja California Sur, Chihuahua, Durango, Guerrero, Oaxaca, Puebla, Quintana Roo, Sinaloa, Sonora, Tamaulipas, Tlaxcala and Veracruz (Graph 5). In EW 52, 15 states reported higher influenza-associated SARI/ILI deaths counts than the historic average: Baja California, Baja California Sur, Campeche, Chiapas, Chihuahua, Oaxaca, Puebla, Querétaro, Quintana Roo, Sinaloa, Sonora, Tabasco, Tamaulipas, Veracruz and Yucatan (Graph 6). During EW 1, 1938 cumulative influenza-associated SARI/ILI cases were reported, with the highest counts in Oaxaca, Veracruz, Ciudad de Mexico, Chihuahua, Guerrero; and 143 influenza-associated SARI/ILI deaths predominating in Oaxaca, Puebla, Veracruz, Sonora and Hidalgo (Graphs 7, 8). / Durante la SE 52, la actividad de influenza continuó en aumento con predominio de influenza A(H1N1)pdm09. La actividad de VSR aumentó, con co-circulación de rinovirus, parainfluenza y metapneumovirus en el último mes (Gráfico 1,2). Hasta la SE 52, los recuentos de IRAG/ETI asociados a influenza fueron superiores a los niveles observados durante la mayoría de las restantes temporadas (Gráfico 3) y se reportaron 143 casos fallecidos de IRAG/ETI asociados a influenza en relación a las previas temporadas para el mismo período (Gráfico 4,8). En la SE 52, 13 estados reportaron mayores recuentos de IRAG/ETI asociados a influenza en comparación con el promedio histórico: Baja California, Baja California Sur, Chihuahua, Durango, Guerrero, Oaxaca, Puebla, Quintana Roo, Sinaloa, Sonora, Tamaulipas, Tlaxcala y Veracruz (Gráfico 5). En la SE 52, 15 estados reportaron mayor recuento de fallecidos por IRAG/ETI asociados a influenza en comparación con el promedio histórico: Baja California, Baja California Sur, Campeche, Chiapas, Chihuahua, Oaxaca, Puebla, Querétaro, Quintana Roo, Sinaloa, Sonora, Tabasco, Tamaulipas, Veracruz y Yucatan (Gráfico 6). Durante la SE 1, fue reportado un total acumulado de 1938 casos de IRAG/ETI asociados a influenza con el mayor recuento en Oaxaca, Veracruz, Ciudad de Mexico, Chihuahua, y Guerrero; y 143 muertes por IRAG/ETI asociadas a influenza predominando en Oaxaca, Puebla, Veracruz, Sonora e Hidalgo (Gráficos 7, 8).

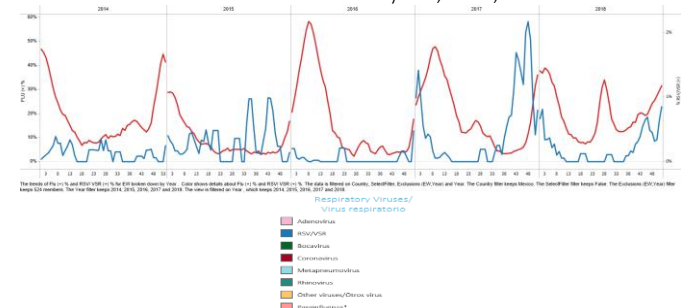
Graph 1. Mexico: Influenza virus distribution by EW 2014-18, EW 52.

Distribución de virus influenza por SE 2014-18, SE 52.

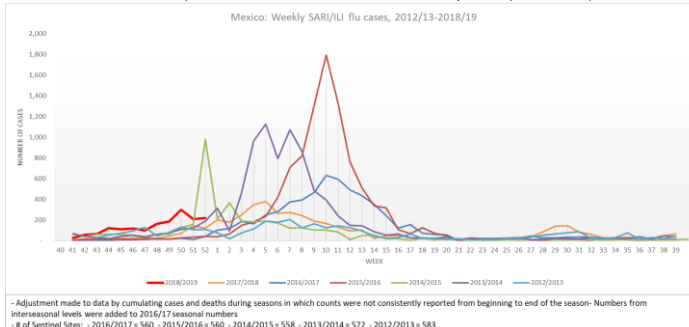


Graph 2. Mexico: Influenza and RSV distribution, EW 52, 2015-18

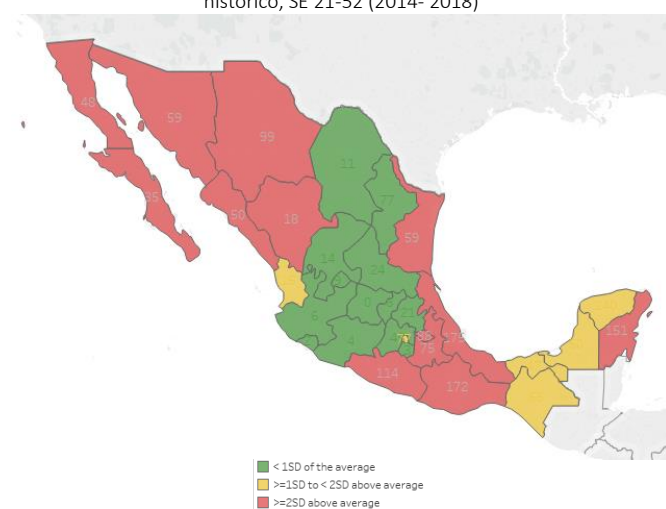
Distribución de virus influenza y VSR, SE 52, 2015-18



Graph 3. Mexico: Influenza-associated SARI/ILI cases EW 52, 2012/13-2018/19
Casos de IRAG/ETI asociados a influenza SE 52, 2012/13-2018/19



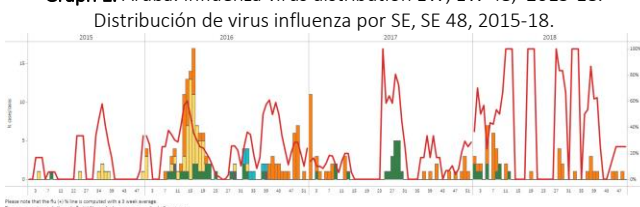
Graph 5. Mexico: Cumulative influenza-associated SARI/ILI cases greater than historic average, EW 21-52 (2014- 2018)
Casos acumulados de IRAG/ETI asociados a influenza superior al promedio histórico, SE 21-52 (2014- 2018)



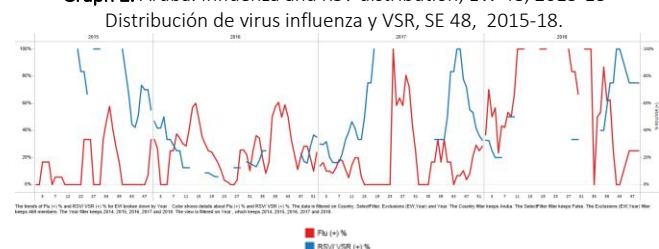
Aruba

- During EW 48, low influenza detections were reported and influenza A(H1N1)pdm09 activity predominated (Graph 1) with increased SARI activity in recent weeks (Graph 3). The proportion of RSV positive samples was higher than the proportion of influenza samples in EW 48 (Graph 2). / Durante la SE 48, se reportaron bajas detecciones de influenza y la actividad de influenza A(H1N1)pdm09 predominó (Gráfico 1) con mayor actividad de IRAG en semanas recientes (Gráfico 3). La proporción de muestras positivas para VSR fue mayor que la proporción de muestras para influenza en la SE 48 (Gráfico 2).

Graph 1. Aruba. Influenza virus distribution EW, EW 48, 2015-18.



Graph 2. Aruba. Influenza and RSV distribution, EW 48, 2015-18.



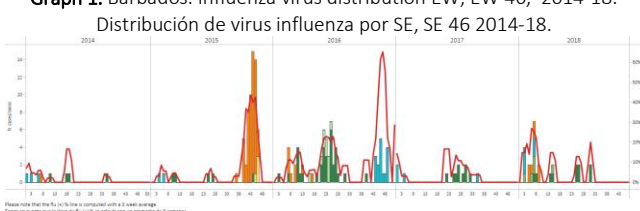
Graph 3. Aruba: Number of SARI cases with samples by EW, EW 48, 2015-18.



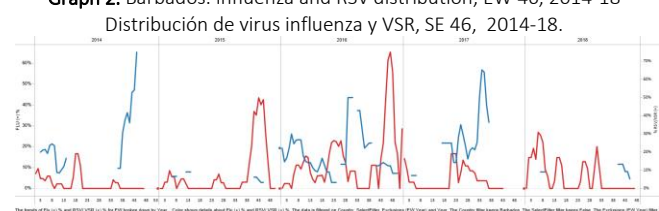
Barbados

- From EW 33 to EW 46, no influenza detections were reported, and influenza B circulated in previous weeks (Graph 1, 2). During 2018, few RSV detections were reported (Graph 2). As of EW 49, the decreased SARI activity was below the levels observed in the 2015-2017 seasons for the same period (Graph 3). / Desde la SE 33 a la SE 46, no se reportaron detecciones de influenza e influenza B circuló en semanas previas (Gráfico 1, 2). Durante 2018, se reportaron escasas detecciones de VSR (Gráfico 2). Hasta la SE 48, la actividad disminuida de IRAG se ubicó por debajo de los niveles observados en las temporadas 2015-2017 para el mismo período (Gráfico 3).

Graph 1. Barbados. Influenza virus distribution EW, EW 46, 2014-18.



Graph 2. Barbados. Influenza and RSV distribution, EW 46, 2014-18.



Graph 3. Barbados: Number of SARI cases with samples by EW, EW 48, 2013-18.

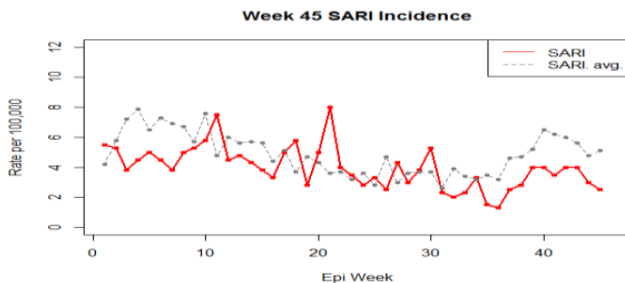


Belize/ Belice

- During EW 45, slightly decreased SARI activity was reported (Graph 1), as compared to the previous five seasons' average. In EW 43, the ARI incidence rate among <5 years of age children was lower than the previous seasons for the same period (Graph 2). In EW 50, no influenza samples were detected with influenza B and A(H1N1)pdm09 circulating during the previous weeks (Graph 3). / Durante la SE 45, se reportó ligero descenso en la actividad de IRAG (Gráfico 1), en comparación con el promedio de las cinco temporadas previas. En la SE 45, la incidencia de IRA entre los niños <5 años fue menor que en las temporadas previas para el mismo período (Gráfico 2). En la SE 50, no se detectaron muestras de influenza con circulación de influenza B y A(H1N1)pdm09 en semanas previas (Gráfico 3).

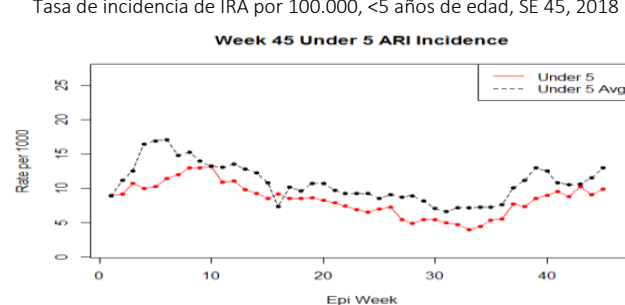
Graph 1. Belize: SARI incidence rate per 100,000, EW 45, 2018

Tasa de incidencia de IRAG por 100.000, SE 45, 2018



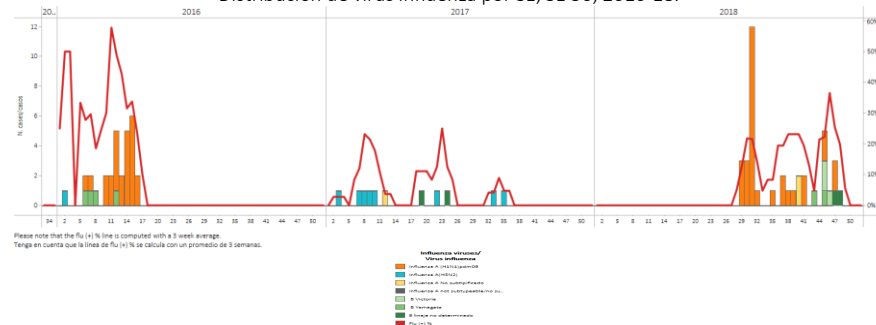
Graph 2. Belize: ARI incidence rate per 100,000, <5 years old, EW 45,

2018



Graph 3. Belize. Influenza virus distribution EW, EW 50, 2016-18.

Distribución de virus influenza por SE, SE 50, 2016-18.

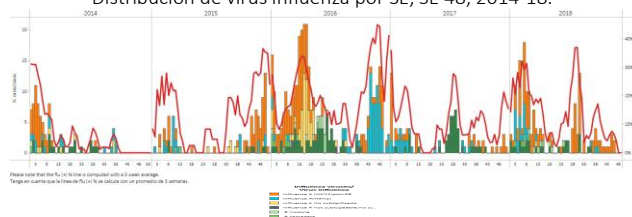


CARPHA

- During EW 47, increased influenza detections were reported with influenza A(H1N1)pdm09 circulating (Graph 1). The proportion of influenza positive samples and the proportion of RSV positive samples increased decreased from previous weeks (Graph 2) Durante la SE 47, se reportaron mayores detecciones de influenza con circulación de influenza A(H1N1)pdm09 (Gráfico 1). La proporción de muestras positivas para influenza y la proporción de muestras positivas para VSR aumentaron en relación a semanas previas (Gráfico 2).

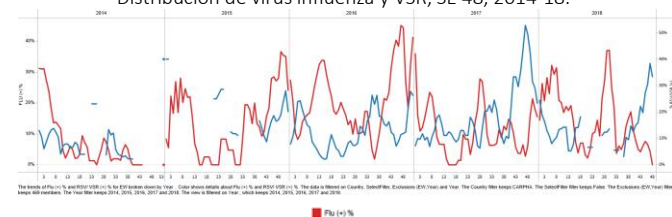
Graph 1. CARPHA. Influenza virus distribution EW, EW 48, 2014-18.

Distribución de virus influenza por SE. SE 48. 2014-18.



Graph 2. CARPHA. Influenza and RSV distribution, EW 48, 2014-18

Distribución de virus influenza y VSR. SE 48, 2014-18



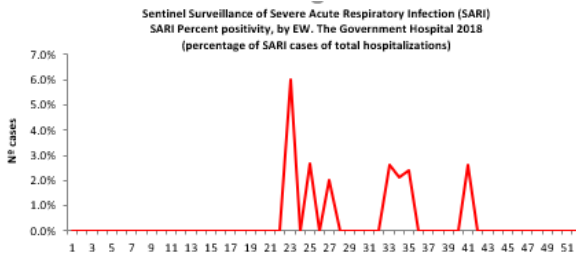
*To view more epi data, view here. / Para ver mas datos epi, vea aquí.

Cayman Island / Islas Caiman

- From EW 23 to EW 44, SARI activity remained at low levels, with no cases reported in EW 44 (Graph 1). / Desde la SE 23 a SE 44, la actividad de IRAG permaneció a niveles bajos, sin casos reportados en la SE 44 (Gráfico 1).

Graph 1. Cayman Island/ Islas Caiman: Percentage of SARI cases by EW, EW 44, 2018.

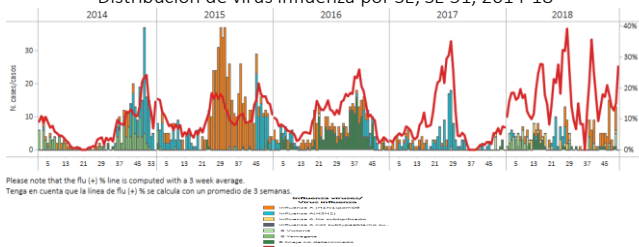
Porcentaje de casos de IRAG por SE, SE 44, 2018

**Cuba**

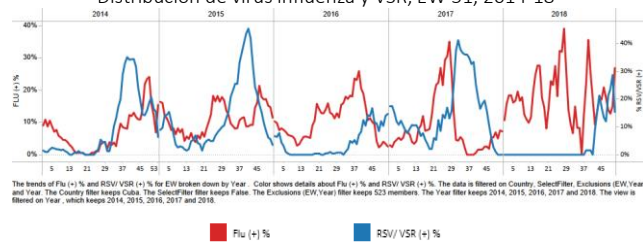
- During EW 51, slightly increased influenza detections were reported with influenza A(H1N1)pdm09 and B co-circulating (Graph 1); while there was no RSV circulation during the 2018 season until EW 39 (Graph 2). The number of SARI cases decreased and were lower than in the 2017 season for the same period and were among the <5-years-old population, with RSV predominating (Graph 1,3). / Durante la SE 51 se reportaron ligeramente menores detecciones de influenza, con co-circulación de influenza A(H1N1)pdm09 y B (Gráfico 1), en tanto no se reportó circulación de VSR durante la temporada 2018 hasta la SE 39 (Gráfico 2). Los casos de IRAG disminuyeron y estuvieron por debajo de los niveles de la temporada 2017 para el mismo período y fueron entre la población de < 5 años de edad con predominio de VSR (Gráfico 1, 3).

Graph 1. Cuba: Influenza virus distribution by EW, EW 51, 2014-18

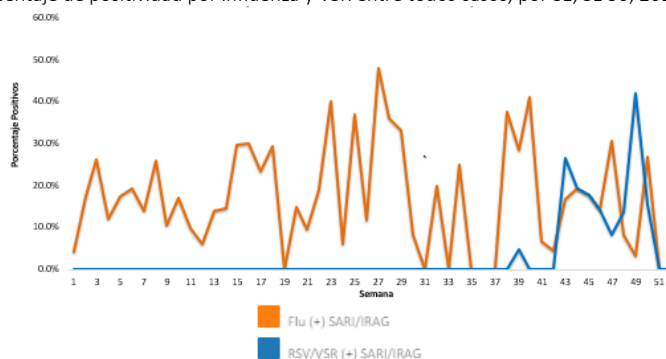
Distribución de virus influenza por SE, SE 51, 2014-18

**Graph 2.** Cuba Influenza and RSV distribution, EW 51, 2014-18

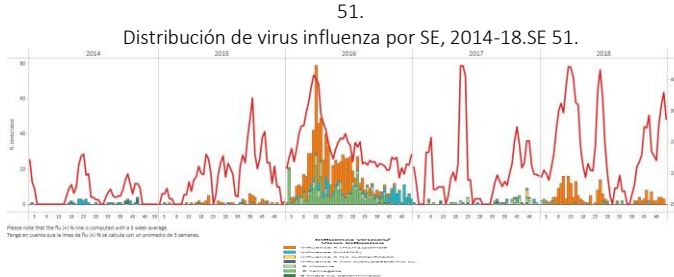
Distribución de virus influenza y VSR, EW 51, 2014-18

**Graph 3.** Cuba: Percent positivity for influenza and RSV among SARI cases by EW, EW 50, 2015-18

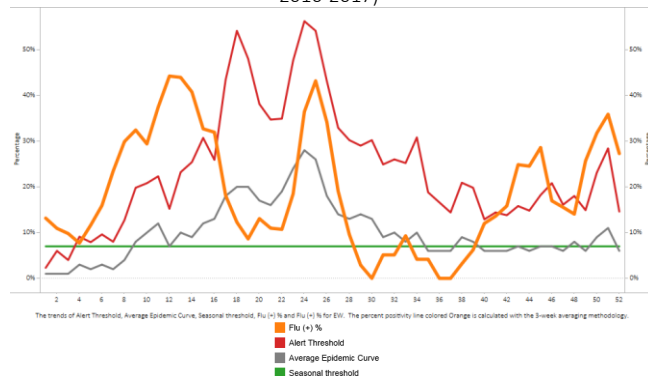
Porcentaje de positividad por influenza y VSR entre todos los casos, por SE, SE 50, 2015-18

*To view more epi data, view [here](#). / Para ver mas datos epi, vea [aquí](#).**Dominican Republic / República Dominicana**

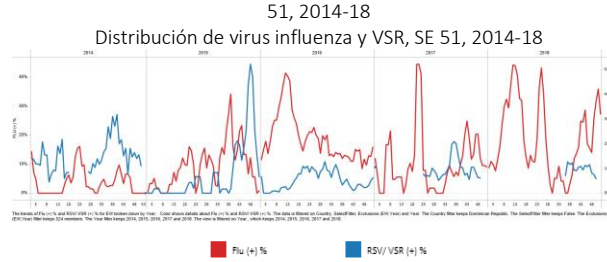
- During EW 51, decreased influenza detections were reported, with influenza A(H1N1)pdm09 predominating in recent weeks (Graph 1); RSV detections decreased from the prior week (Graph 2). Influenza positivity was above the alert threshold and the average epidemic curve (Graph 3). During EW 48, the number of SARI cases slightly decreased from previous weeks (Graph 4), with a similar proportion of influenza and RSV positive samples. The SARI and influenza-associated SARI cases predominated among the <5 years old. / Durante la SE 51, se reportaron menores detecciones de influenza, con predominio de influenza A(H1N1)pdm09 en semanas recientes (Gráfico 1); las detecciones de VSR disminuyeron en relación a la semana previa (Gráfico 2). La positividad de influenza se ubicó sobre el umbral de alerta y el umbral epidémico (Gráfico 3). Durante la SE 48, el número de casos de IRAG disminuyó ligeramente en relación a semanas previas (Gráfico 4), con una proporción similar de muestras positivas para influenza y VSR. Los casos de IRAG y los casos de IRAG asociados a influenza predominaron en los <5 años.

Graph 1. Dominican Republic: Influenza virus distribution EW, 2014-18. EW 51.**Graph 3.** Dominican Republic: Percent positivity for influenza, EW 52 2018 (in comparision to 2010-2017)

Porcentaje de positividad de influenza, SE 52, 2018 (en comparación a 2010-2017)



*To view more epi data, view [here](#). / Para ver mas datos epi, vea [aquí](#).

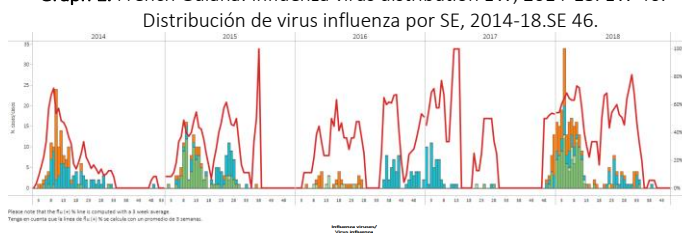
Graph 2. Dominican Republic Influenza and RSV distribution, EW 51, 2014-18**Graph 4.** Dominican Republic: Percent of SARI cases out of total hospitalizations, by EW, EW 48, 2018

Porcentaje de casos de todos IRAG by EW, EW 48, 2018



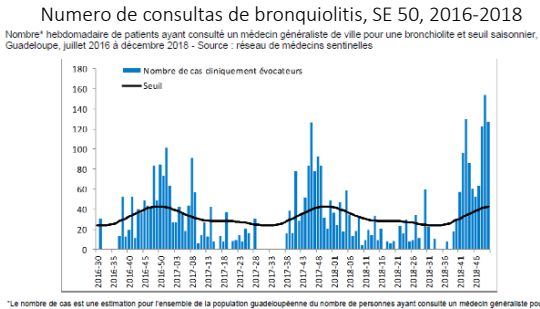
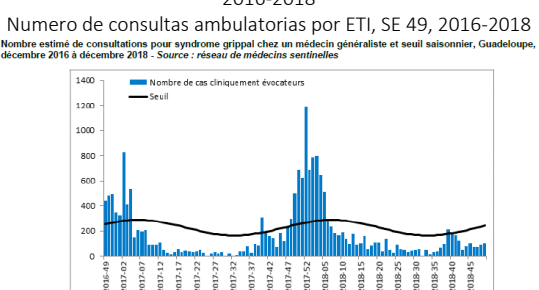
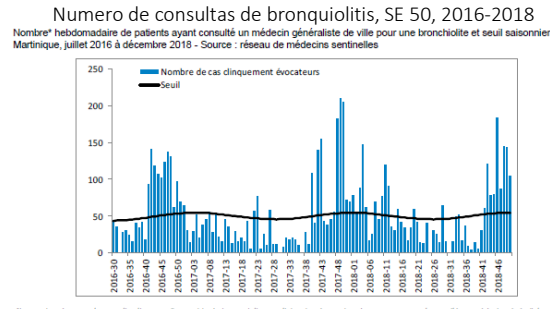
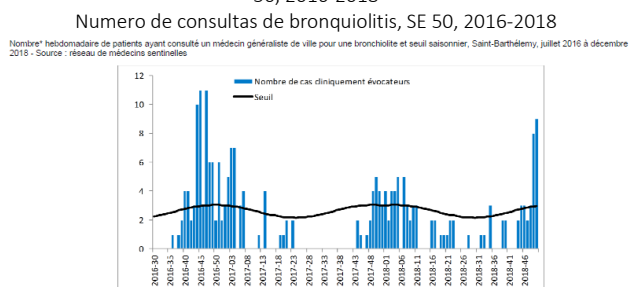
French Guiana

- During EW 46, no influenza detections were reported, with influenza A(H3N2) circulating in recent weeks (Graph 1). Influenza positivity was below the seasonal threshold and the average epidemic curve. / Durante la SE 46, no se reportaron detecciones de influenza, con circulación de influenza A(H3N2) en semanas recientes (Gráfico 1). La actividad de influenza se ubicó bajo el umbral estacional y la curva epidémica.

Graph 1. French Guiana: Influenza virus distribution EW, 2014-18. EW 46.

French Territories / Territorios Franceses

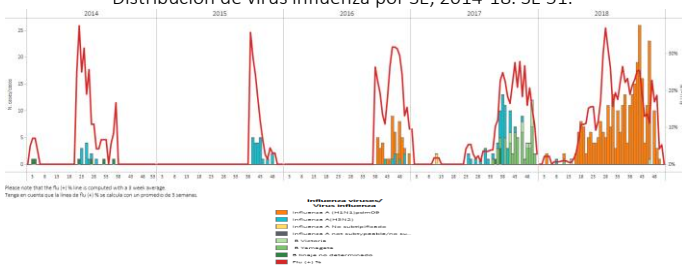
- During EW 50, 2018, bronchiolitis consultations increased after a peak in EW 43 and were higher than the seasonal average in Guadeloupe (Graph 1), while ILI activity remained at low levels (Graph 3). As of EW 50, in Martinique and Saint-Barthélemy, bronchiolitis activity remained above the seasonal levels for the 2018 season (Graph 2). / Durante la SE 50 de 2018, las consultas por bronquiolitis aumentaron luego de un pico en la SE 43 y fueron mayores que el promedio estacional en Guadalupe (Gráfico 1), en tanto la actividad de ETI se mantuvo a niveles bajos (Grafico 3). Hasta la SE 50, en Martinica y Saint-Barthélemy, la actividad de bronquiolitis permaneció sobre los niveles estacionales para la temporada 2018 (Gráfico 2).

Graph 1. Guadeloupe: Number of bronchiolitis consultations, EW 50, 2016-2018**Graph 3.** Guadeloupe: Number of ambulatory consultations for ILI, EW 49, 2016-2018**Graph 2.** Martinique: Number of bronchiolitis consultations, EW 50, 2016-2018**Graph 4.** Saint-Barthélemy: Number of bronchiolitis consultations, EW 50, 2016-2018**Haiti**

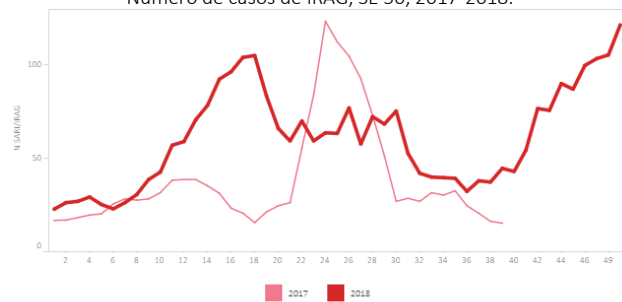
- During 2018, influenza activity began earlier than in the previous 2014-2017 seasons and peaked in EW 30. During EW 51, influenza cases decreased as compared to the previous weeks, with influenza A(H1N1)pdm09 predominated (Graph 1). As of EW 50, the number of SARI hospitalizations increased from previous weeks; and was higher than the levels observed in 2017 for the same period (Graph 2), with most of the cases among the <5 years old infants. / Durante 2018, la actividad de influenza inició más tempranamente que en las temporadas previas de 2014-2017 y presentó un pico en la SE 30. Durante la SE 51, los casos de influenza disminuyeron en comparación a las semanas previas, con predominio de influenza A(H1N1)pdm09 (Gráfico 1). Hasta la SE 50, el número de hospitalizaciones por IRAG aumentó respecto a semanas previas; siendo superior a los niveles observados en 2017 para el mismo período (Gráfico 2); con la mayoría de los casos reportaron entre los niños <5 años de edad.

Graph 1. Haiti: Influenza virus distribution EW, 2014-18. EW 51.

Distribución de virus influenza por SE, 2014-18. SE 51.

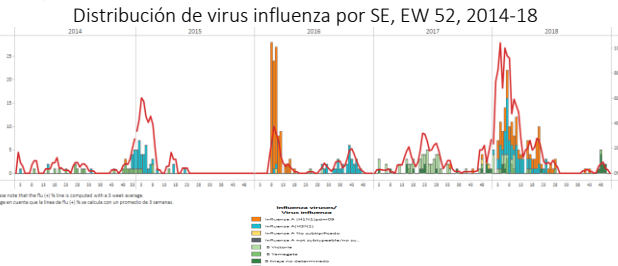
**Graph 2.** Haiti: Number of SARI cases, EW 50, 2017-2018. /

Número de casos de IRAG, SE 50, 2017-2018.

*To view more epi data, view [here](#). / Para ver mas datos epi, vea [aquí](#).**Jamaica**

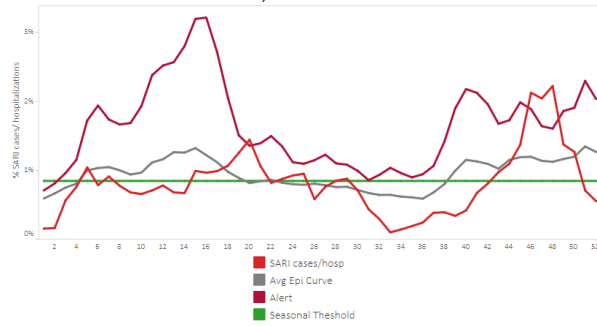
- During EW 52, SARI activity slightly decreased above the average epidemic curve, as compared to the 2016-2017 seasons (Graph 2). The number of ARI cases remained above the seasonal threshold, as compared to the 2014-2017 seasons for the same period (Graph 3). During EW 41 to EW 52, few influenza B detections were reported with no influenza cases reported in the previous two months (Graph 1). Decreased number of RSV positive samples was detected after a peak in EW 49 (Graph 2). / Durante la SE 52, la actividad de IRAG disminuyó ligeramente sobre la curva epidémica promedio, en comparación a las temporadas 2016-2017 (Gráfico 2). El número de casos de IRA permaneció sobre el umbral estacional, respecto a las temporadas 2014-2017 para el mismo período (Gráfico 3). Durante la SE 41 a SE 52, se reportaron escasas detecciones de influenza B, sin reporte de casos de influenza en los dos meses previos (Gráfico 1). Se detectó un menor número de muestras positivas a VSR luego de un pico en la SE 49 (Gráfico 2).

Graph 1. Jamaica: Influenza virus distribution by EW, EW 52, 2014-18



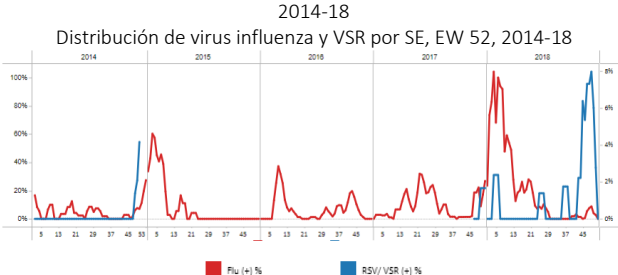
Graph 3. Jamaica: Number of SARI hospitalizations among total hospitalizations, EW 52, 2016-2018. /

Número de hospitalizaciones por IRAG entre total de hospitalizaciones, SE 52, 2016-2018.

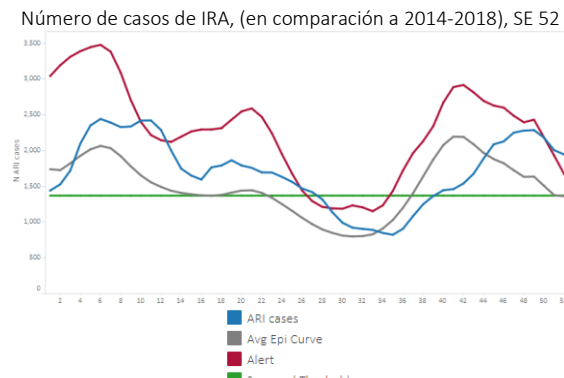


*To view more epi data, view [here](#). / Para ver mas datos epi, vea [aquí](#).

Graph 2. Jamaica: Influenza and RSV virus distribution by EW, EW 52, 2014-18



Graph 4. Jamaica: Number of ARI cases (compared to 2014-2018), EW 52

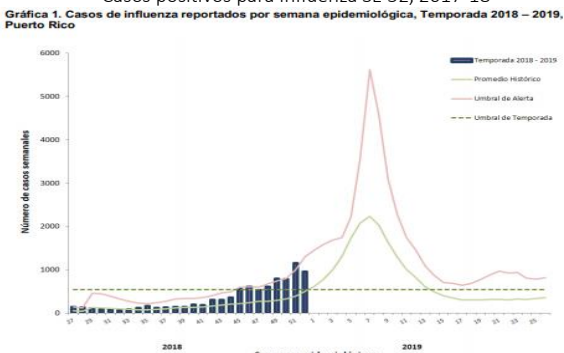


Puerto Rico

- During EW 52, decreased influenza cases were detected above the seasonal threshold, with predominance of influenza A(H1N1)pdm09 (Graph 1). During EW 52, no ILI activity was reported, and it remained below the average epidemic curve up to EW 21 (Graph 2). / Durante la SE 52, se han detectado menos casos de influenza sobre el umbral estacional, con predominio de influenza A(H1N1)pdm09 (Gráfico 1). Durante la SE 52, no se reportó actividad de ETI, y la misma permaneció por debajo de la curva epidémica media hasta la SE 21 (Gráfico 2).

Graph 1. Puerto Rico: Influenza-positive cases by EW 52, 2017-18

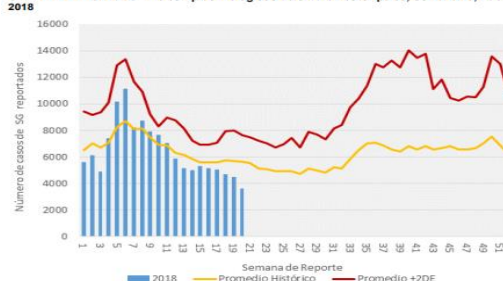
Casos positivos para influenza SE 52, 2017-18



Graph 2. Puerto Rico: ILI epidemic rates by EW 20, 2018 /

Tasas de ETI por SE, SE 20, 2018.

GRÁFICA 4. Informe de Niveles Epidemiológicos de Síndromes Gripales, Semana 20, Puerto Rico 2018

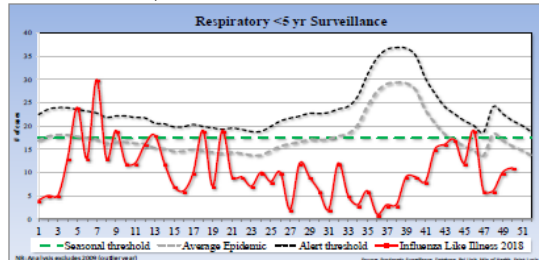


Saint Lucia

- During EW 50, the number of cases with respiratory symptoms among children under 5 years of age increased below the seasonal threshold (Graph 1). During EW 49, SARI activity decreased and was lower than the levels from the 2016 season for the same period (Graph 2), with SARI admissions predominating among the 1 to 4 years of age population. No influenza activity was reported since EW 35 (Graph 3) / Durante la SE 50, el número de casos con síntomas respiratorios en niños menores de 5 años de edad aumentó bajo el umbral estacional (Gráfico 1). Durante la SE 49, la actividad de IRAG disminuyó y fue menor que los niveles de la temporada 2016 para el mismo período (Gráfico 2), con predominio de las admisiones por IRAG entre el grupo de 1 y 4 años de edad. No se reportó actividad de influenza desde la SE 35 (Gráfico 3).

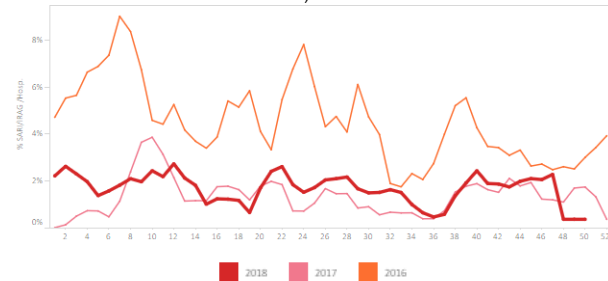
Graph 1. Saint Lucia: ILI cases distribution by EW among the < 5 years of age, EW 50, 2014-18

Distribución de ETI por SE entre los <5 años de edad, SE 50, 2014-18

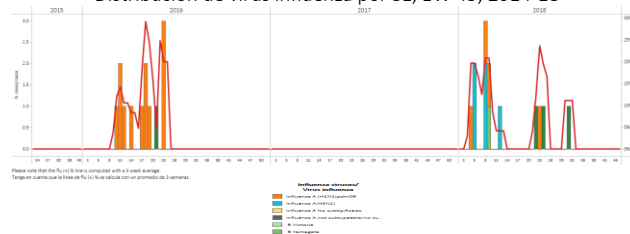


Graph 2. Saint Lucia: Percent of SARI cases per total hospitalizations by year, 2016-2018, EW 49. /

Porcentaje de casos de IRAG por todos hospitalizaciones por año, 2016-2018, SE 49.



Graph 3. St. Lucia: Influenza virus distribution by EW, EW 45, 2014-18
Distribución de virus influenza por SE, EW 45, 2014-18



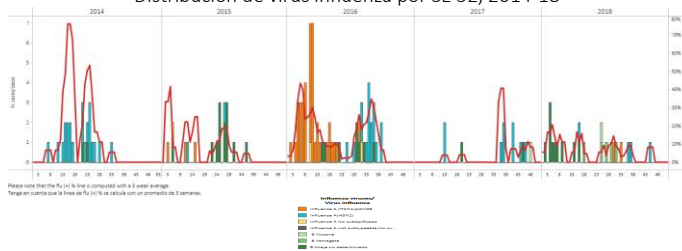
*To view more epi data, view [here](#). / Para ver mas datos epi, vea [aquí](#).

Suriname

- From EW 48 to EW 52, ILI cases decrease was reported with no activity in the previous eight weeks; while SARI-related hospitalizations decreased in EW 52 and were similar to the 2016-2017 seasons for the same period (Graph 3, 4). During EW 52, minimum influenza activity was reported, with influenza A(H3N2) circulating in previous weeks (Graph 1); RSV activity decreased (Graph 2). / Desde la SE 48 hasta la SE 52, se reportó un descenso de casos de ETI sin actividad en las ocho semanas previas; en tanto las hospitalizaciones relacionadas con IRAG disminuyeron en la SE 52 y fueron similares a las temporadas 2016-2017 para el mismo período (Gráfico 3, 4). Durante la SE 52, se reportó mínima actividad de influenza, con circulación de influenza A(H3N2) en semanas previas (Gráfico 1); la actividad de VSR disminuyó (Gráfico 2).

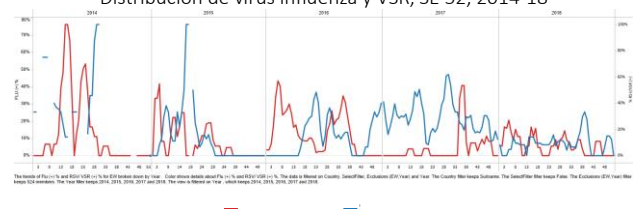
Graph 1. Suriname: Influenza virus distribution by EW 52, 2014-18

Distribución de virus influenza por SE 52, 2014-18



Graph 2. Suriname: Influenza and RSV distribution, EW 52, 2014-18

Distribución de virus influenza y VSR, SE 52, 2014-18



Graph 3. Suriname: Number of ILI cases, by age, by EW, 2016-2018.EW 52

Número de casos ETI, en grupo de edad, por SE, 2016-2018, SE 52



Graph 4. Suriname: % SARI hospitalizations per total hospitalizations, by EW, 2016-2018.EW 52.

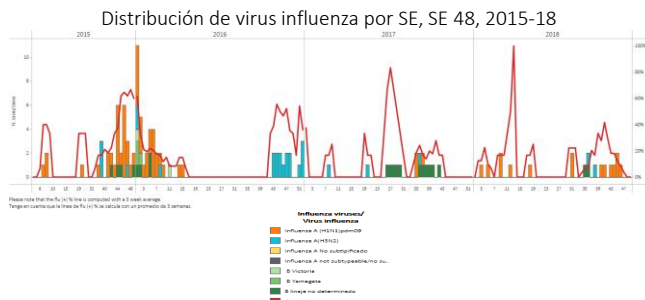
Casos % de hospitalizaciones IRAG entre todas las hospitalizaciones, por SE, 2016-2018.SE 52.



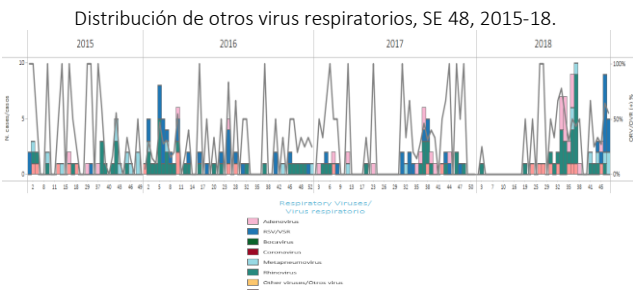
Trinidad & Tobago

- During EW 48, decreased influenza detections were reported, with influenza A(H1N1)pdm09 predominating in previous weeks (Graph 1). Rhinovirus and parainfluenza virus circulated in recent weeks, and there were no RSV detections reported (Graph 2). As of EW 45, SARI activity decreased from the previous week (Graph 3). / Durante la SE 48, se reportaron menores detecciones de influenza, con predominio de influenza A(H1N1)pdm09 en semanas previas (Gráfico 1). Rhinovirus y parainfluenza circularon en semanas recientes y no se reportaron detecciones de VSR (Gráfico 2). Hasta la SE 45, la actividad de IRAG disminuyó en relación a la semana previa (Gráfico 3).

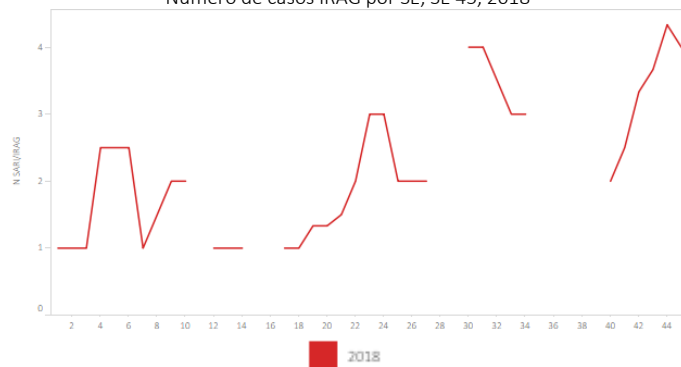
Graph 1. Trinidad & Tobago: Influenza virus distribution by EW, EW 48, 2015-18



Graph 2. Trinidad & Tobago. Other respiratory virus distribution, EW 48, 2015-18



Graph 3. Trinidad & Tobago: Number of SARI cases by EW, EW 45, 2018
Número de casos IRAG por SE, SE 45, 2018

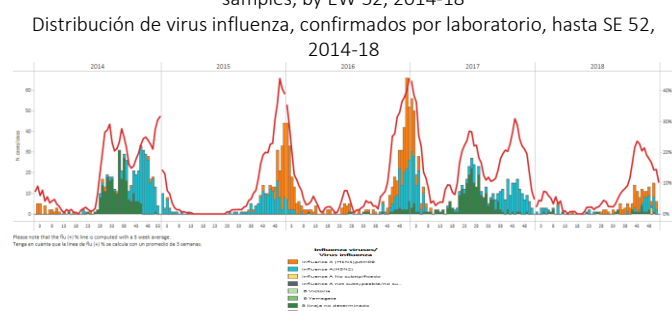


Central America / América Central

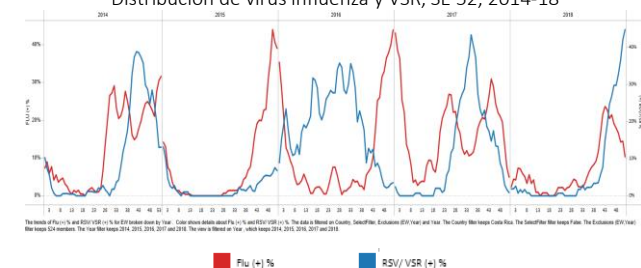
Costa Rica

- During EW 52, influenza activity slightly decreased from the previous weeks with influenza A(H3N2) predominating (Graph 1). Influenza activity during EW 52 was higher than during the 2017 season for the same period and RSV activity increased (Graph 1, 2). In EW 52, the proportion of SARI hospitalizations increased, while the proportion of cases with ICU admissions (17%) and SARI deaths (9%) were lower as compared to the previous weeks (Graph 3). / Durante la SE 52, la actividad de influenza disminuyó ligeramente en relación a las semanas previas con predominio de influenza A(H3N2) (Gráfico 1). La actividad de influenza durante la SE 52 fue mayor que durante la temporada 2017 para el mismo período y la actividad de VSR aumentó (Gráficos 1, 2). En la SE 52, la proporción de hospitalizaciones por IRAG aumentó, en tanto la proporción de casos con admisión a UCI (17%) y fallecidos por IRAG (9%) fueron menores en comparación a las semanas previas (Gráfico 3).

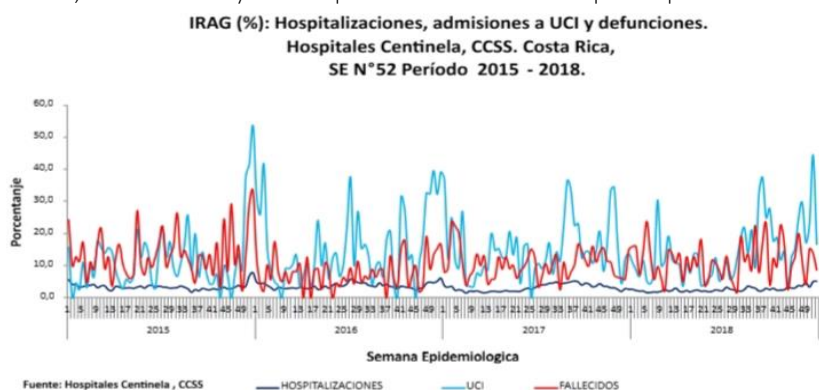
Graph 1. Costa Rica: Influenza virus distribution, Laboratory confirmed samples, by EW 52, 2014-18



Graph 2. Costa Rica: Influenza and RSV distribution, EW 52, 2014-18
Distribución de virus influenza y VSR, SE 52, 2014-18



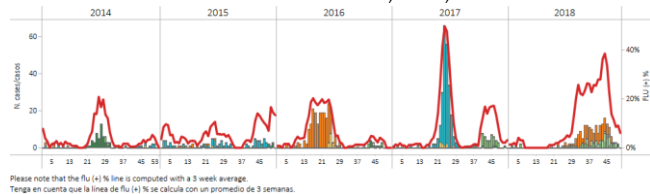
Graph 3. Costa Rica: Proportion of SARI cases, ICU admissions and SARI deaths in reporting sentinel sites by year. Costa Rica, EW 52, 2015-2018
Proporción de casos de IRAG, admisiones a UCI y fallecidos por IRAG en sitios centinela reportado por año. Costa Rica, SE 52, 2015-2018



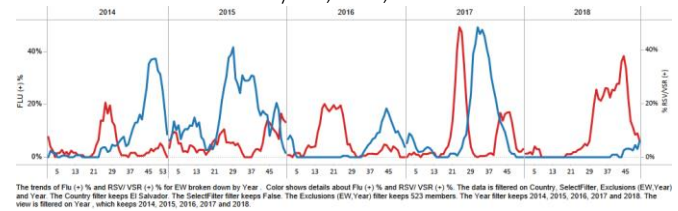
El Salvador

- During EW 51, influenza activity decreased below the average epidemic curve with influenza A(H1N1)pdm09 and B co-circulating (Graphs 1, 3). Few RSV detections were reported as compared to the previous season (Graph 2). During EW 51, the percentage of SARI cases decreased and were similar to levels observed in the 2016 season (Graph 4, 5); and pneumonia counts decreased from the previous weeks and were lower than during the 2016 season and similar to the levels of the 2017 season (Graph 5). / Durante la SE 51, la actividad de influenza disminuyó bajo la curva epidémica promedio con co-circulación de influenza A(H1N1)pdm09 y B (Gráficos 1, 3). Se reportaron contadas detecciones de VSR en relación a la temporada anterior (Gráfico 2). Durante la SE 51, el porcentaje de casos IRAG disminuyó y fue menor a los niveles registrados en la temporada 2016 (Gráfico 4); y los recuentos de neumonía disminuyeron en relación a las semanas previas y fueron menores que durante la temporada 2016 y similares a los niveles de la temporada 2017 (Gráfico 5).

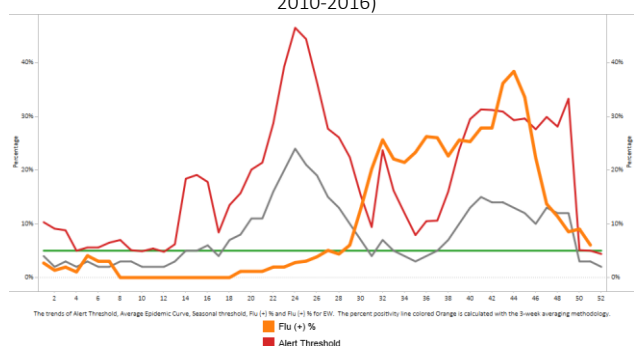
Graph 1. El Salvador: Influenza virus distribution, EW 51, 2014-18
Distribución de virus influenza, SE 51, 2014-18



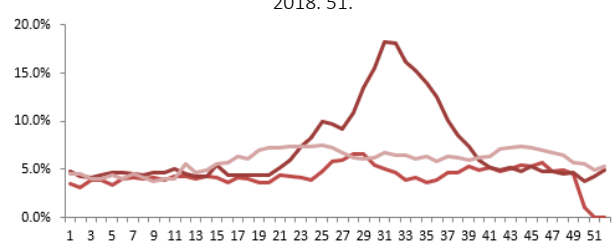
Graph 2. El Salvador: Influenza and RSV distribution, EW 51, 2014-18
Distribución de virus influenza y VSR, SE 51, 2014-18



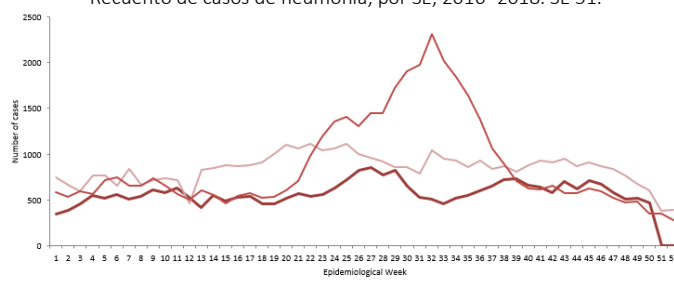
Graph 3. El Salvador: Percent positivity for influenza, EW 51, 2018 (in comparison to 2010-2016)
Porcentaje de positividad de influenza, SE 51, 2018 (en comparación a 2010-2016)



Graph 4. El Salvador: Percentage of SARI cases out of total hospitalizations, by EW, 2016- 2018. EW 51
Porcentaje de casos por IRAG de todas las hospitalizaciones, por SE, 2016-2018. 51.



Graph 5. El Salvador: Number of pneumonia cases by EW, 2016- 2018. EW 51.
Recuento de casos de neumonía, por SE, 2016- 2018. SE 51.

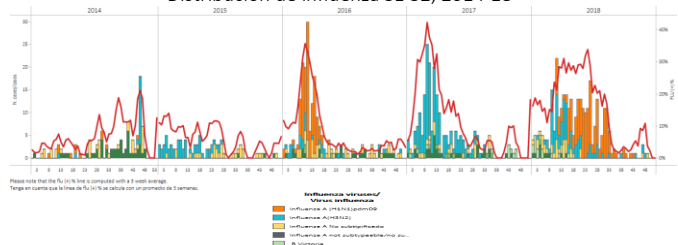


*To view more epi data, view [here](#). / Para ver mas datos epi, vea [aquí](#).

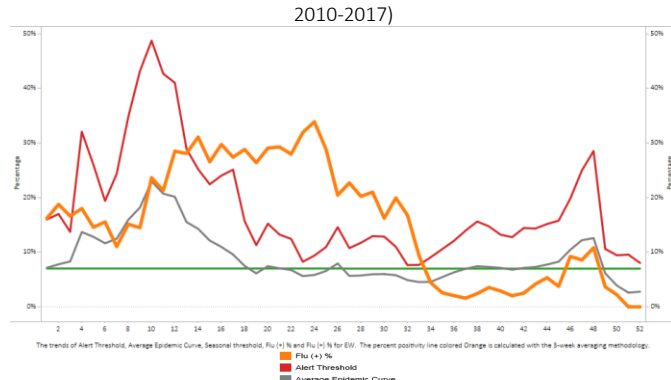
Guatemala

- During EW 52, influenza detections decreased with influenza A(H3N2) circulating in recent weeks (Graph 1). Influenza positivity was below the seasonal threshold, as compared to the 2010-2017 period (Graph 3); while the RSV activity remained elevated in the last weeks and higher than the levels reported in the 2017 season (Graph 2). From EW 45 to EW 52, the percentage of SARI cases among all hospitalizations increased and was lower than during the 2017 season and associated to increased proportion of RSV detections compared to influenza detections (Graph 4, 5). The highest proportion of SARI cases was among <5 years old population. During EW 52, pneumonia and ARI activity decreased and were slightly similar to the counts reported in the 2017 season (Graph 6, 7). / Durante la SE 52, las detecciones de influenza disminuyeron con circulación de influenza A(H3N2) en semanas recientes (Gráfico 1). La positividad de influenza se ubicó bajo el umbral estacional, en comparación al período 2010-2017 (Gráfico 3); en tanto la actividad de VSR permaneció elevada en las últimas semanas y fue superior a los niveles de la temporada 2017 (Gráfico 2). Desde la SE 45 hasta la SE 52, el porcentaje de casos de IRAG del total de hospitalizaciones aumentó y fue menor que en la temporada 2017 y asociada a mayor proporción de detecciones de VSR comparado con las detecciones de influenza (Gráficos 4, 5). La mayor proporción de casos de IRAG fue entre la población de <5 años de edad (Gráfico 4). Durante la SE 52, las actividades de neumonía e IRA disminuyeron y fueron ligeramente similares a los recuentos reportados en la temporada 2017 (Gráficos 6, 7).

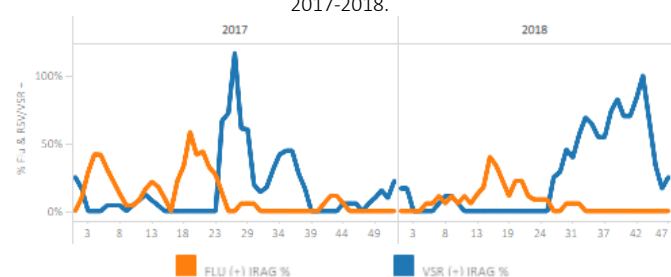
Graph 1. Guatemala. Influenza virus distribution EW 52, 2014-18
Distribución de influenza SE 52, 2014-18



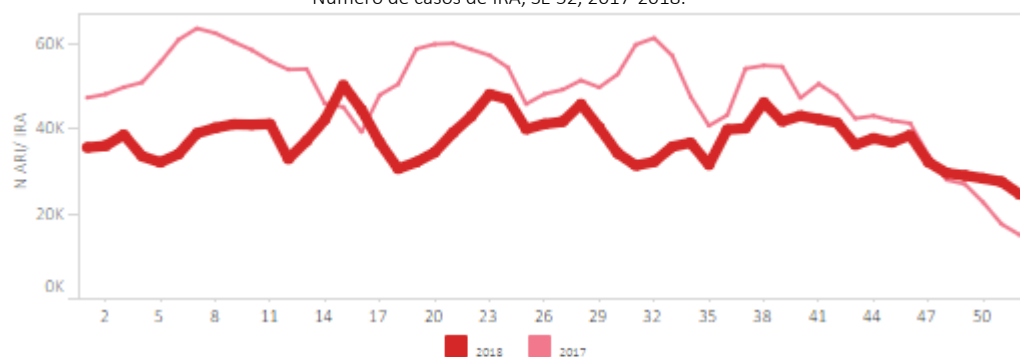
Graph 3. Guatemala: Percent positivity for influenza, EW 52, 2018 (in comparison to 2010-2017)
Porcentaje de positividad de influenza, SE 52, 2018 (en comparación con 2010-2017)



Graph 5. Guatemala: Percent positivity for influenza and RSV among SARI cases, EW 49, 2017-2018. /
Porcentaje de positividad de influenza y VSR entre los casos de IRAG, SE 49, 2017-2018.



Graph 7. Guatemala: Number of ARI cases, EW 52, 2017-2018. /
Número de casos de IRA, SE 52, 2017-2018.

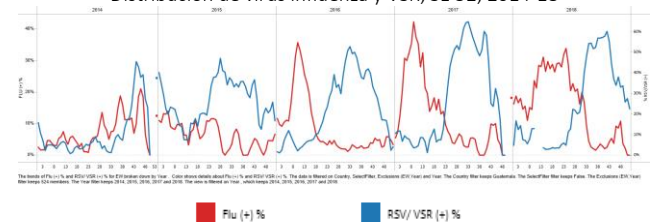


*To view more epi data, view [here](#). / Para ver mas datos epi, vea [aquí](#).

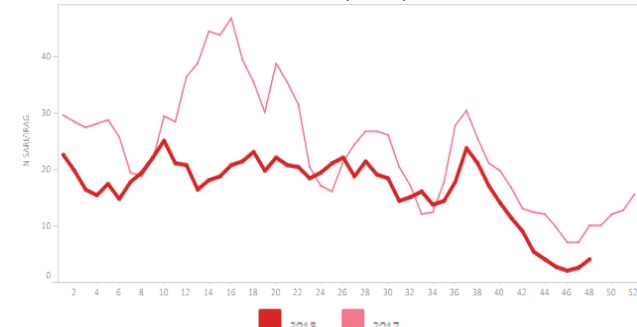
Honduras

- During EW 51, at the sentinel sites, influenza activity slightly decreased below the seasonal threshold (Graph 3) with influenza B predominating (Graph 1); decreased RSV activity was reported in the last month (Graph 2). The influenza positive cases were reported mainly from Cortes and Francisco Morazán departments and most cases were among children under 5 years of age. During EW 49, the counts of SARI cases were similar as compared to the previous weeks and remained lower than the levels of the 2012-2017 seasons (Graph 4). / Durante la SE 51 de 2018, en los sitios centinela, la actividad de influenza disminuyó ligeramente bajo el umbral estacional (Gráfico 3) con predominio de influenza

Graph 2. Guatemala: Influenza and RSV distribution, EW 52, 2014-18
Distribución de virus influenza y VSR, SE 52, 2014-18



Graph 4. Guatemala: Number of SARI cases, EW 52, 2017-2018. /
Número de casos IRAG, SE 52, 2017-2018.

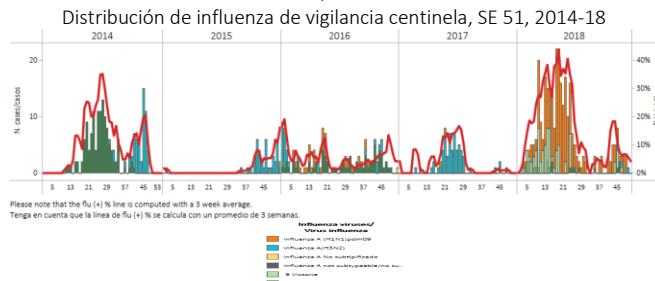


Graph 6. Guatemala: Number of pneumonia cases, EW 52, 2017-2018. /
Número de casos de neumonía, SE 52, 2017-2018.



A(H1N1)pdm09 (Gráfico 1); se reportó menor actividad de VSR en el último mes (Gráfico 2). Los casos positivos de influenza fueron reportados principalmente en los departamentos de Cortés y Francisco Morazán, y la mayoría de los casos fueron en niños menores de 5 años de edad. Durante la SE 49, los recuentos de casos de IRAG fueron similares en comparación a las semanas previas y permanecieron menores a los niveles de las temporadas 2012-2017 (Gráfico 4).

Graph 1. Honduras. Influenza virus distribution from sentinel surveillance, EW 51, 2014-18

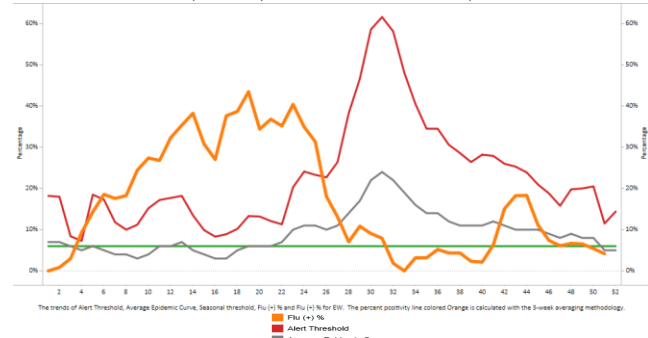


Please note that the flu (+) % line is computed with a 3 week average.

Tenga en cuenta que la linea de flu (+) % se calcula con un promedio de 3 semanas.

Graph 3. Honduras : Percent positivity for influenza,from sentinel surveillance, EW 51 2018 (in comparision to 2010-2017)

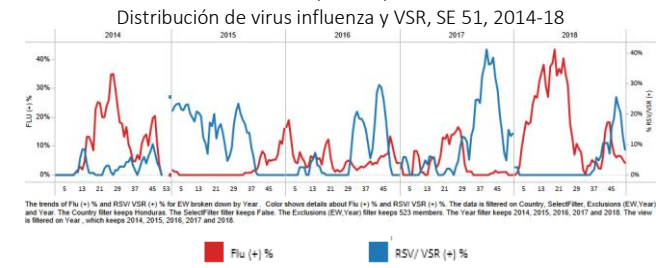
Porcentaje de positividad de influenza, de la vigilancia centinela, SE 51, 2018 (en comparación con 2010-2017)



The trends of Alert Threshold, Average Epidemic Curve, Seasonal threshold, Flu (+) and Flu (-) % for EW. The percent positivity line colored Orange is calculated with the 3-week averaging methodology.

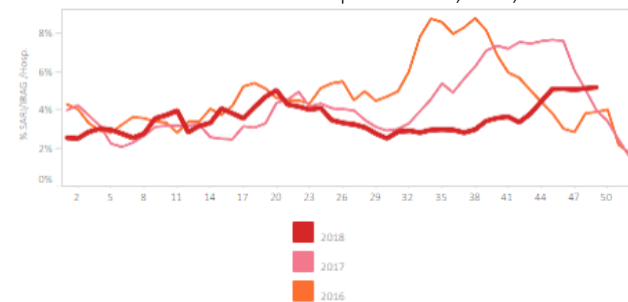
Flu (+) %
Alert Threshold
Average Epidemic Curve
Seasonal threshold

Graph 2. Honduras: Influenza and RSV distribution form sentinel surveillance, EW 51, 2014-18



Graph 4. Honduras: Number of SARI cases out of total hospitalizations, EW 49, 2018. /

Número de casos IRAG de todas hospitalizaciones, SE 49, 2012-2018.

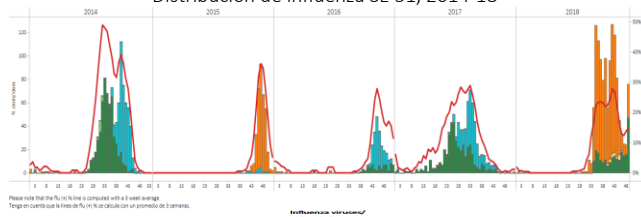


Nicaragua

- During the 2018 season, influenza activity was reported at low levels. From EW 29 to EW 51, influenza A(H1N1)pdm09 and B activity remained elevated above the seasonal levels and the average epidemic curve (Graph 1, 3), and RSV activity slightly increased in the last two months (Graph 2). Pneumonia case counts decreased after peaking in EW 44 and were higher as compared to the levels observed in 2014-2017 (Graph 4). The ARI case counts slightly decreased in EW 49 and were similar to the levels reported in 2016-2017 for the same period (Graph 5). / Durante la temporada 2018, la actividad de influenza se reportó a niveles bajos. Desde la SE 29 a la SE 51, la actividad de influenza A(H1N1)pdm09 y B permaneció elevada sobre los niveles estacionales y la curva epidémica promedio (Grafico 1), y la actividad de VSR aumentó ligeramente en los últimos dos meses (Gráfico 2). El recuento de casos de neumonía disminuyó luego de un pico en la SE 44 y fue superior en comparación a los niveles observados en 2016-2017 para el mismo periodo (Gráfico 4). Los recuentos de IRA disminuyeron ligeramente en la SE 49 y fueron superiores a los niveles reportados en 2016-2017 para el mismo periodo (Gráfico 5).

Graph 1. Nicaragua. Influenza virus distribution EW 51, 2014-18

Distribución de influenza SE 51, 2014-18

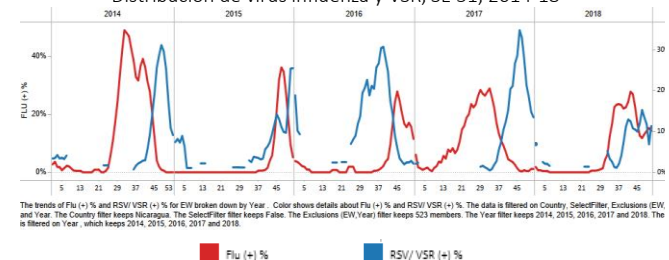


Please note that the flu (+) % line is computed with a 3 week average.

Tenga en cuenta que la linea de flu (+) % se calcula con un promedio de 3 semanas.

Graph 2. Nicaragua: Influenza and RSV distribution, EW 51, 2014-18

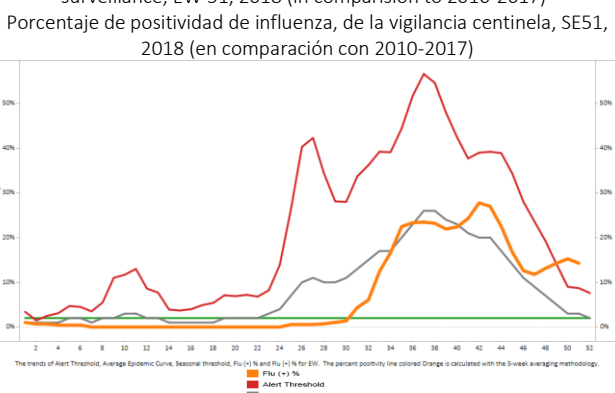
Distribución de virus influenza y VSR, SE 51, 2014-18



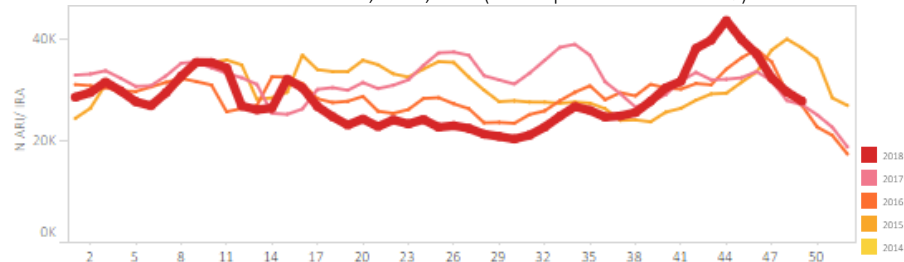
Flu (+) %

RSV/VSR (+) %

Graph 3. Nicaragua : Percent positivity for influenza,from sentinel surveillance, EW 51, 2018 (in comparision to 2010-2017)



Graph 5. Nicaragua : Number of ARI cases, EW 49, 2018 (in comparison to 2014-2017) / Número de casos de IRA, SE 49, 2018 (en comparación a 2014-2017).



Graph 4. Nicaragua : Number of pneumonia cases, EW 49, 2018 (in comparison to 2014-2017) / Número de casos de neumonía, SE 49, 2018 (en comparación a 2014-2017)



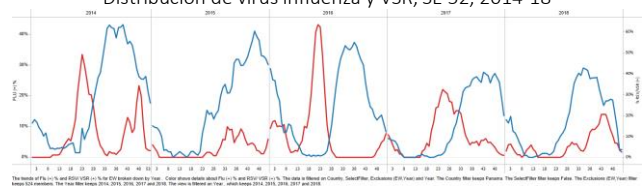
Panama

- During the 2018 season, at the national level, influenza activity remained at low levels. In EW 52, decreased influenza percent of positivity was reported with influenza A(H3N2) predominance (Graph 1). RSV detections slightly decreased as compared to previous weeks (Graph 2). / Durante la temporada 2018, a nivel nacional, la actividad de influenza permaneció a niveles bajos. En la SE 52, se han reportado menor porcentaje de positividad de influenza con predominio de influenza A(H3N2) (Gráfico 1). Las detecciones de VSR disminuyeron ligeramente respecto a las semanas previas (Gráfico 2).

Graph 1. Panama. Influenza virus distribution EW 52, 2014-18
Distribución de influenza SE 52, 2014-18



Graph 2. Panama: Influenza and RSV distribution, EW 52, 2014-18
Distribución de virus influenza y VSR, SE 52, 2014-18

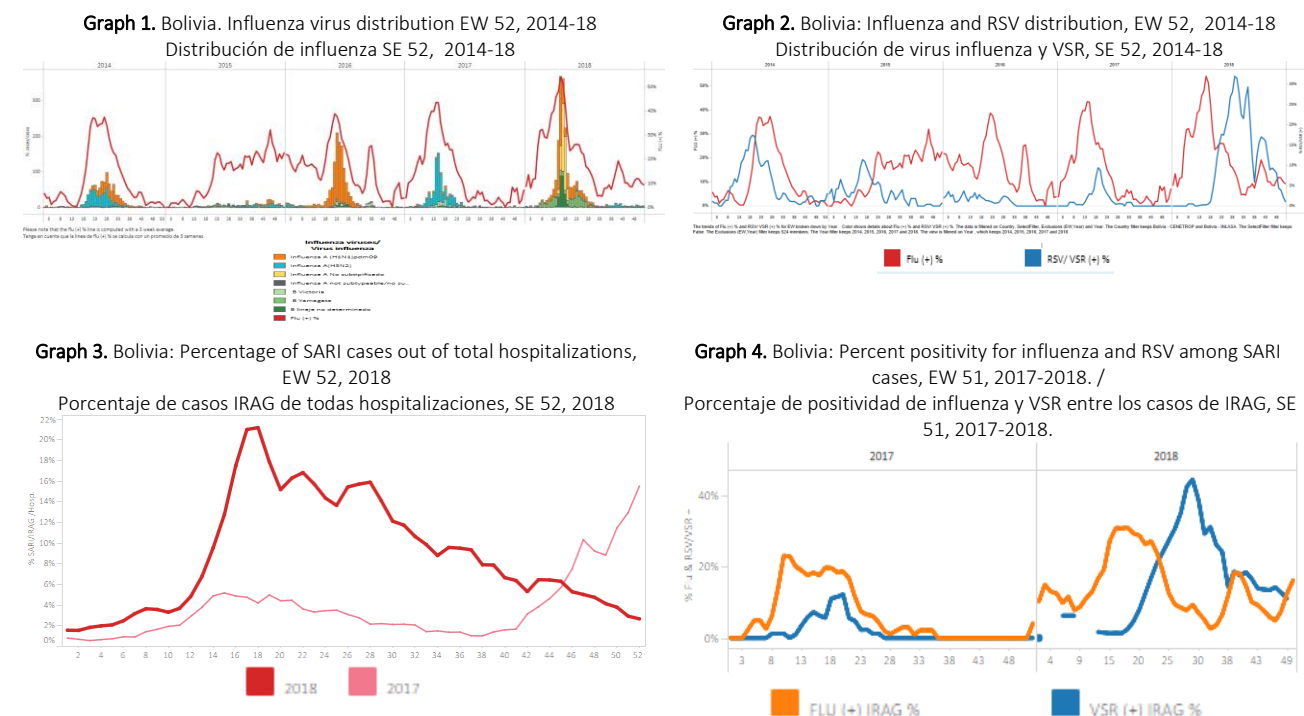


*To view more epi data, view [here](#). / Para ver mas datos epi, vea [aquí](#).

South America / América del Sur – Andean countries / Países andinos:

Bolivia

- During EW 52 and in recent weeks, at the national level, the percentage of SARI cases decreased and was slightly higher than the levels observed in the 2017 season for the same period (Graph 3); with RSV percent positivity among SARI cases similar to the influenza positivity (Graph 4). Influenza activity slightly decreased from the previous week with influenza B and A(H3N2) co-circulating. RSV activity peaked during EW 29 with a downward slope since EW 33 (Graph 1, 2). In La Paz and Santa Cruz, in EW 52, the number of SARI cases decreased below the seasonal levels from previous weeks, with influenza B and A co-circulating (Graph 3). / Durante la SE 52 y en semanas recientes, a nivel nacional, el porcentaje de IRAG disminuyó y fue ligeramente mayor que los niveles observados en la temporada 2017 para el mismo período (Grafico 3); con un porcentaje de positividad de VSR entre los casos de IRAG similar a la positividad de influenza (Gráfico 4). La actividad de influenza disminuyó ligeramente respecto a la semana previa con co-circulación de influenza B y A(H3N2) (Gráfico 1). La actividad del VSR llegó a su pico en la SE 29 con una pendiente descendente desde la SE 33 (Gráfico 2). En La Paz y en Santa Cruz, en la SE 52, el recuento de casos de IRAG disminuyó por debajo del nivel estacional en relación a semanas previas, con co-circulación de influenza B y A (Gráfico 3)

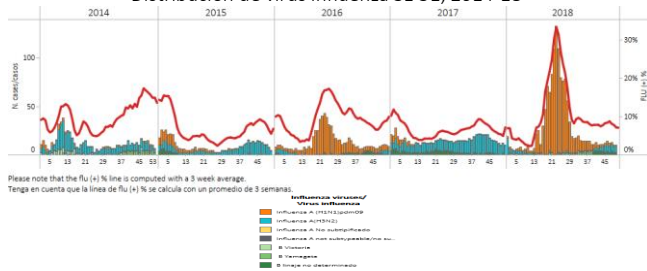


*To view more epi data, view [here](#). / Para ver más datos epi, vea [aquí](#).

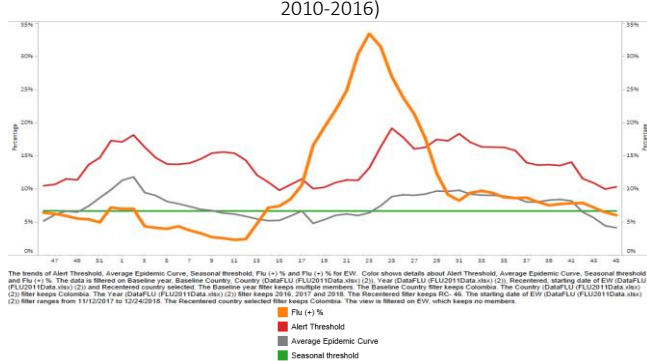
Colombia

- During EW 52, at national level, SARI case counts were lower as compared to the previous seasons for the same period and were below the seasonal threshold and the alert threshold (Graph 4). In EW 51, influenza activity decreased as compared to the previous weeks with influenza A(H3N2) and B co-circulating (Graphs 1, 3); while RSV percent positivity slightly decreased (Graph 2). During EW 52, pneumonia activity was below the seasonal levels for the period and ARI activity decreased below the alert threshold; both were similar as compared to the levels reported during the 2014-2017 seasons (Graph 5, 6). / En la SE 52, a nivel nacional, el número de casos de IRAG fue menor en comparación a las temporadas previas para el mismo período, y se situaron por debajo del umbral estacional y de alerta (Grafico 4). Durante la SE 51, la actividad de influenza disminuyó en comparación a las semanas anteriores con circulación de influenza A(H3N2) y B (Gráficos 1, 3); en tanto la positividad de VSR disminuyó ligeramente (Gráfico 2). Durante la SE 52, la actividad de neumonía se ubicó bajo los niveles estacionales para el período y la actividad de IRA disminuyó bajo el umbral de alerta; ambos fueron similares en comparación a los niveles reportados durante las temporadas de 2014-2017 (Gráficos 5, 6).

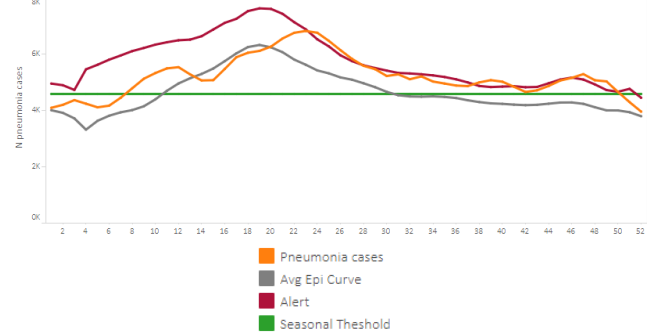
Graph 1. Colombia. Influenza virus distribution EW 51, 2014-18
Distribución de virus influenza SE 51, 2014-18



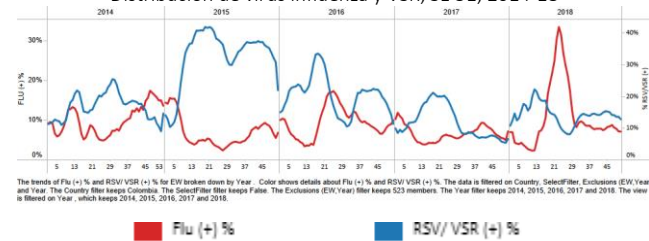
Graph 3. Colombia: Percent positivity for influenza, EW 46, 2017-18 (in comparision to 2010-2016)
Porcentaje de positividad de influenza, SE 46, 2017-18 (en comparación a 2010-2016)



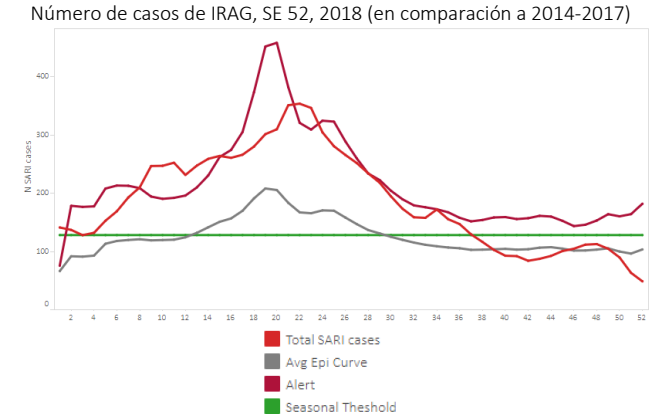
Graph 5. Colombia: Number of pneumonia-related hospitalizations, by EW 52, 2018 (in comparison with 2014-17)
Número de hospitalización asociado a neumonía, por SE 52, 2018 (en comparación con 2014-17)



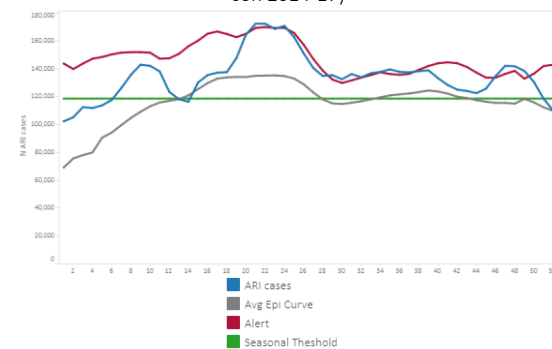
Graph 2. Colombia: Influenza and RSV distribution, EW 51, 2014-18
Distribución de virus influenza y VSR, SE 51, 2014-18



Graph 4. Colombia: Number of SARI cases, EW 52, 2018 (in comparison to 2014-2017)
Número de casos de IRAG, SE 52, 2018 (en comparación a 2014-2017)



Graph 6. Colombia: Number of ARI cases, EW 52 (from all consultations), (in comparison with 2014-17)
Número de los casos IRA, SE 52 (de todas consultas), (en comparación con 2014-17)

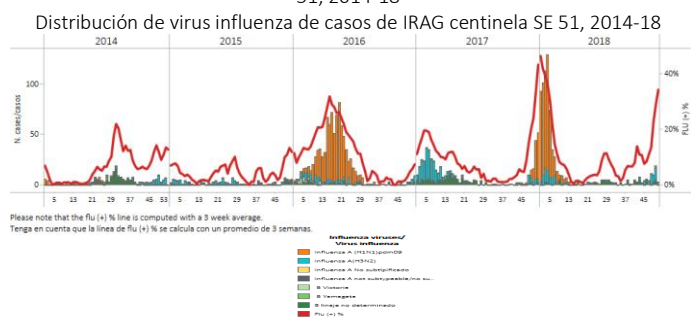


*To view more epi data, view [here](#). / Para ver mas datos epi, vea [aquí](#).

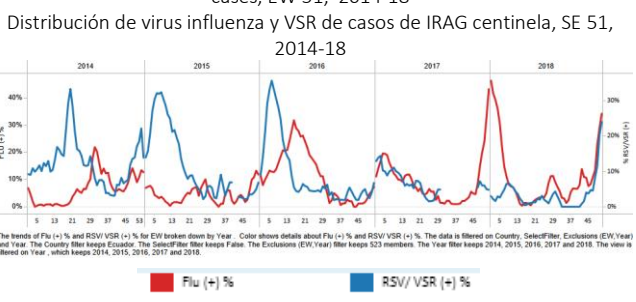
Ecuador

- During EW 51, at national level, the proportion of SARI cases, the ICU admissions and deaths proportions among all hospitalizations decreased from previous weeks and remained similar to the levels observed during the 2016 -2017 seasons for the same period (Graph 4). During EW 51, influenza activity increased as compared to the previous weeks above the seasonal threshold, with influenza B and A(H3N2) co-circulating (Graph 2). Influenza percent positivity was similar to the levels reported during the prior season for the same period, with increased RSV activity (Graph 1, 2). / Durante la SE 51, a nivel nacional, la proporción de casos de IRAG, admisiones a UCI y fallecidos sobre el total de hospitalizaciones disminuyó en relación con semanas previas y se mantuvo similar a los niveles observados durante 2016-2017 para el mismo período (Gráfico 4). En la SE 51, la actividad de influenza aumentó en comparación con las semanas previas sobre el umbral estacional, con co-circulación de influenza B y A(H3N2) (Gráfico 2). El porcentaje de positividad de influenza fue similar a los niveles registrados en la temporada previa para el mismo período, con baja actividad de VSR (Gráficos 1, 2).

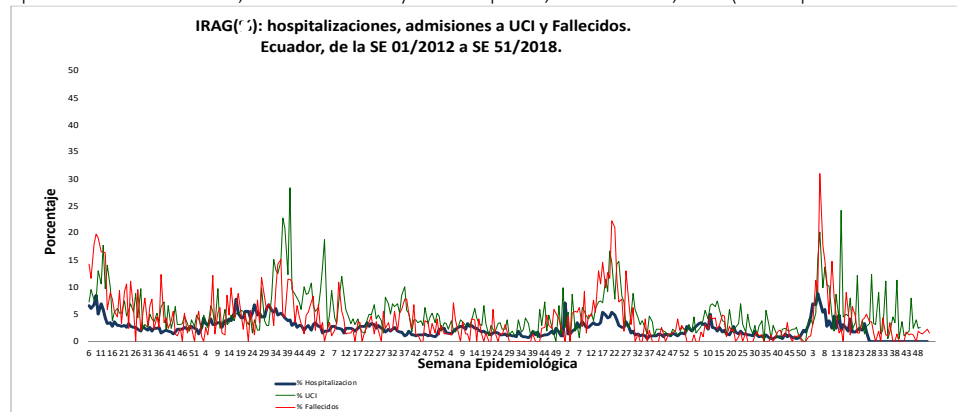
Graph 1. Ecuador: Influenza virus distribution from SARI sentinel cases by EW 51, 2014-18



Graph 2. Ecuador: Influenza and RSV distribution from SARI sentinel cases, EW 51, 2014-18



Graph 4. Ecuador: Proportion of SARI cases, ICU admissions and deaths by EW, as of EW 51, 2018 (compared to 2012-2017)
Proporción de casos de IRAG, admisiones a UCI y muertes por SE, hasta la SE 51, 2018 (en comparacion a 2012-2017)



*To view more epi data, view [here](#). / Para ver mas datos epi, vea [aquí](#).

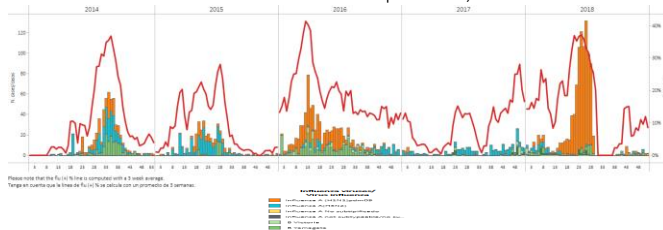
Peru

- During EW 52, at national level, SARI case counts among all hospitalizations decreased from previous weeks and remained lower than the 2015-2017 seasons for the same period (Graph 4). In EW 52, influenza activity slightly decreased above the alert threshold, with influenza A(H1N1)pdm09 and B circulating in recent weeks (Graph 1,3). No RSV detections were reported in EW 52, and was lower than levels observed in 2017 for the same period (Graph 2). During SE 52, at the national level, ARI case counts among the under 5 years of age population slightly decreased and were similar to the levels observed in 2016-2017 for the same period (Graph 5). Likewise, the pneumonia case counts in infants under 5 years of age slightly decreased and was higher than the counts reported in 2016-2017 for the same period (Graph 6). During EW 48, 16 departments reported pneumonia cumulative cases among the under 5 years of age children higher than the median of the 2013-2017 seasons for the same period: Amazonas, Ancash, Apurimac, Arequipa, Callao, Cusco, Huanuco, La Libertad, Lima, Madre de Dios, Moquegua, Pasco, Puno, Tacna, Tumbes and Ucayali*. En la SE 52, a nivel nacional, el número de casos de IRAG entre el total de hospitalizaciones disminuyó respecto a los niveles de semanas previas y se mantuvo menor a lo observado en las temporadas 2015-2017 para el mismo período (Gráfico 4). Durante la SE 52, la actividad de influenza disminuyó ligeramente sobre el umbral de alerta, con circulación de influenza A(H1N1)pdm09 y B en semanas previas (Gráficos 1,3). No se reportaron detecciones de VSR en la SE 52, y la positividad de VSR fue menor a los niveles observados en 2017 para el mismo período (Gráfico 2). Durante la SE 52, a nivel nacional, el recuento de casos de IRA en la población de menores de 5 años disminuyó ligeramente y fue similar a los niveles observados en 2016-2017 para el mismo período (Gráfico 5). Así mismo, el recuento de casos de neumonía en niños menores de 5 años disminuyó ligeramente y fue superior a los recuentos reportados en 2016-2017 para el mismo período (Gráfico 6). Durante la SE 48, 16 departamentos reportaron recuento de casos de neumonía en niños menores de 5 años superior a la mediana de las temporadas 2013-2017 para el mismo período: Amazonas, Ancash, Apurimac, Arequipa, Callao, Cusco, Huanuco, La Libertad, Lima, Madre de Dios, Moquegua, Pasco, Puno, Tacna, Tumbes y Ucayali *

*Online report/ informe de línea

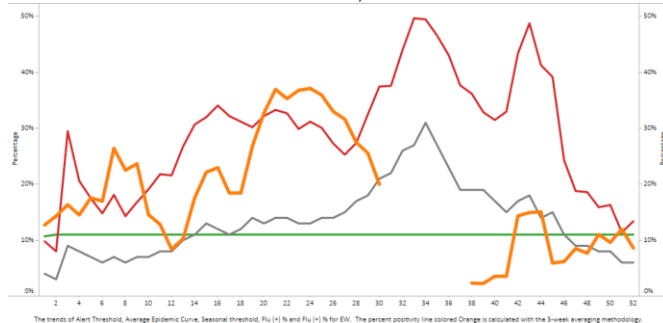
Graph 1. Peru: Influenza virus distribution by EW 52, 2014-18

Distribución de virus influenza por SE 52, 2014-18



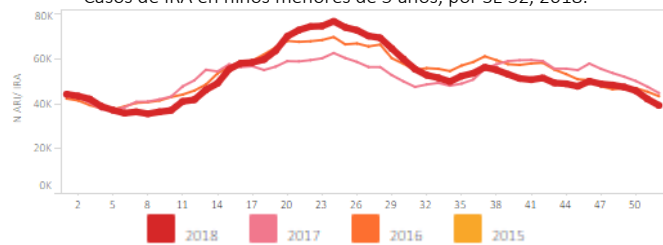
Graph 3. Perú: Percent positivity for influenza, EW 52, 2018 (in comparision to 2010-2017)

Porcentaje de positividad de influenza, SE 52, 2018 (en comparación a 2010-2017)



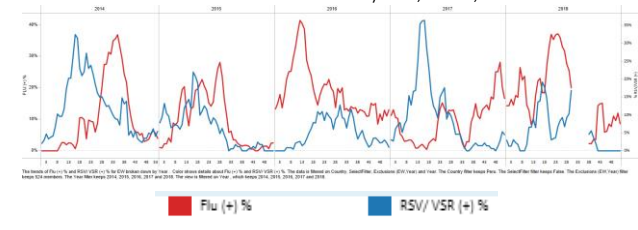
Graph 5. Peru. ARI cases in children under 5 years, by EW 52, 2018

Casos de IRA en niños menores de 5 años, por SE 52, 2018.



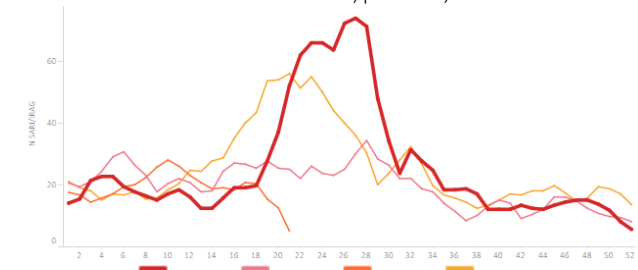
Graph 2. Peru: Influenza and RSV distribution, EW 52, 2014-18

Distribución de virus influenza y VSR, SE 52, 2014-18



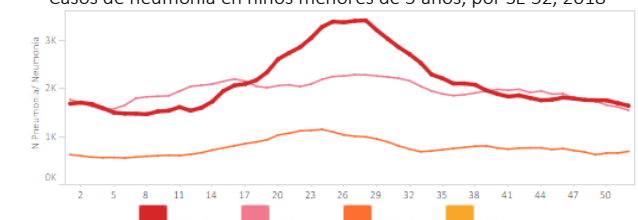
Graph 4. Peru: Number of SARI cases, by EW 52, 2018

Número de casos IRAG, por SE 52, 2018



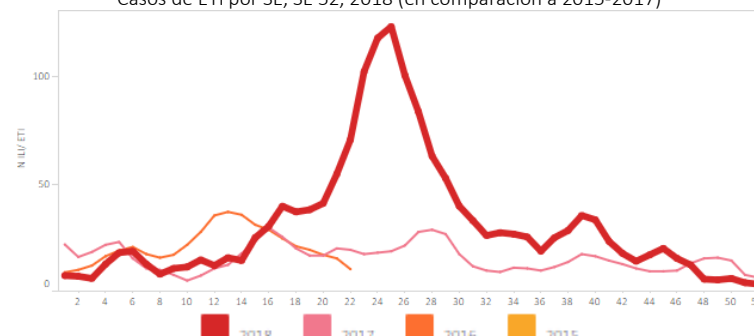
Graph 6. Peru: Pneumonia cases in children under 5 years, by EW 52, 2018

Casos de neumonía en niños menores de 5 años, por SE 52, 2018



Graph 7. Peru: ILI cases, by EW, EW 52, 2018 (in comparision to 2015-2017)

Casos de ETI por SE, SE 52, 2018 (en comparación a 2015-2017)

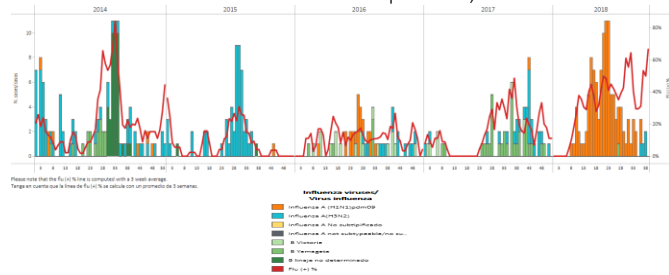


*To view more epi data, view [here](#). / Para ver mas datos epi, vea [aquí](#).

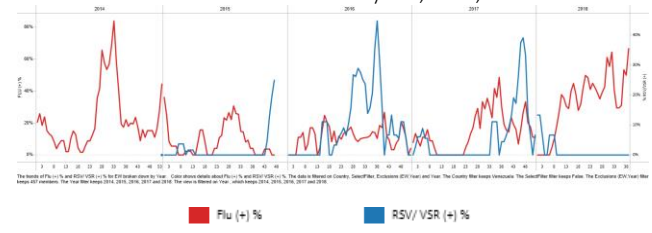
Venezuela

- During EW 39, influenza activity increased with influenza A(H1N1)pdm09 predominating, and few detections of influenza A(H3N2) (Graph 1, 2). Up to EW 39, no RSV detections were reported. / En la SE 39, la actividad de influenza aumentó con predominio de influenza A(H1N1)pdm09, y escasas detecciones de influenza A(H3N2) (Gráficos 1, 2). A la SE 39, no se reportaron detecciones por VSR (Gráfico 2).

Graph 1. Venezuela: Influenza virus distribution by EW 39, 2014-18
Distribución de virus influenza por SE 39, 2014-18



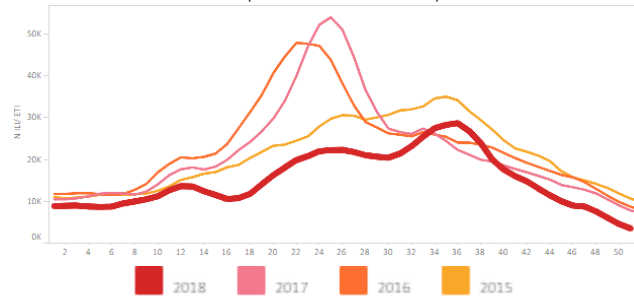
Graph 2. Venezuela: Influenza and RSV distribution, EW 39, 2014-18
Distribución de virus influenza y VSR, SE 39, 2014-18



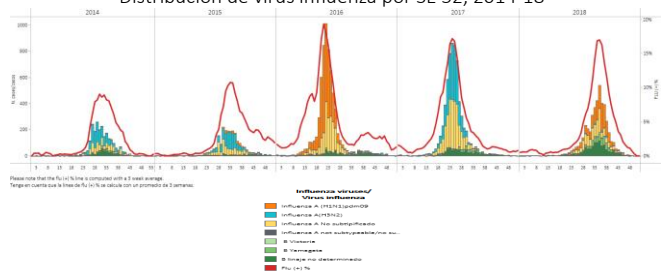
Argentina

- During EW 50, at national level, the counts of SARI and pneumonia cases decreased and were lower than the 2012-2017 seasons for the same period (Graph 2, 6). During EW 50, ILI activity was also low for the period (Graph 1). During EW 52, influenza activity decreased as compared with the previous weeks with overall few samples tested (Graphs 3, 5). RSV positivity decreased and was similar to the levels reported during the previous season for the same period (Graph 4). During 2018, 81 influenza-associated deaths were reported, lower than the levels observed during the 2017 season for the same period (114 influenza-associated deaths), mostly among the 60 years of age population and older and with risk factors (70%). / Durante la SE 50, a nivel nacional los recuentos de IRAG y neumonía disminuyeron y fueron menores que durante las temporadas 2012-2017 para el mismo período (Gráficos 2, 6). Durante la SE 52, la actividad de influenza disminuyó en comparación con semanas previas, con recuento bajo de muestras estudiadas (Gráficos 3, 5). El porcentaje de positividad para VSR disminuyó y fue similar a lo registrado en la temporada previa para el mismo período (Gráficos 4). Durante 2018, se reportaron 81 fallecidos asociados a influenza, menor a los niveles observados durante la temporada 2017 para el mismo período (114 muertes asociadas a influenza), en su mayoría entre la población de 60 años de edad y más, y con factores de riesgo (70%).

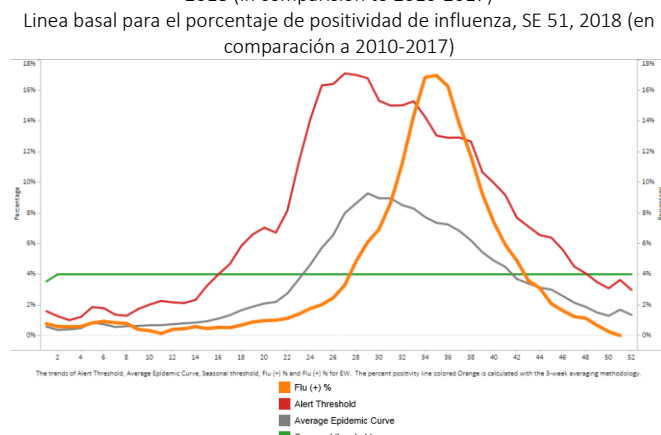
Graph 1. Argentina. Number of ILI cases from national surveillance by EW, EW 1-50, 2018 (compared to 2012-2017) /
Número de casos de ETI de vigilancia nacional, SE 1- 50, 2018 (en comparación a 2012-2017)



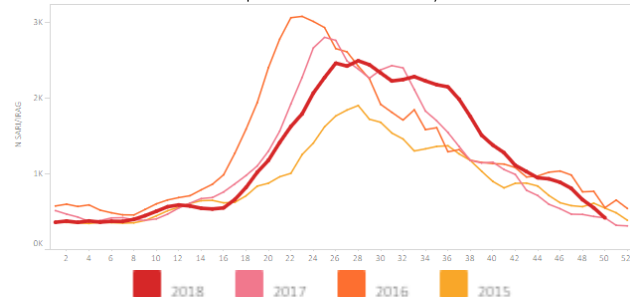
Graph 3. Argentina. Influenza virus distribution by EW 52, 2014-18
Distribución de virus influenza por SE 52, 2014-18



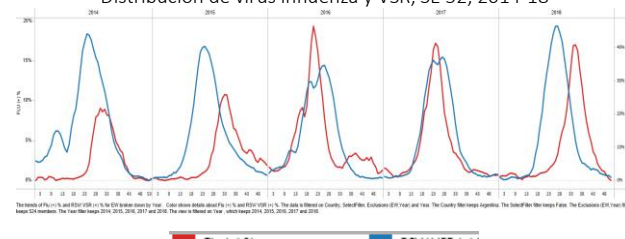
Graph 5. Argentina: Baseline for the percent positivity for influenza, EW 51, 2018 (in comparison to 2010-2017)
Línea basal para el porcentaje de positividad de influenza, SE 51, 2018 (en comparación a 2010-2017)



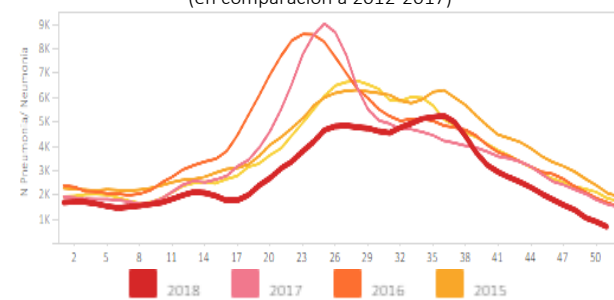
Graph 2. Argentina. Number of SARI cases from national surveillance by EW, EW 1-50, 2018 (compared to 2012-2017) /
Número de casos de IRAG de vigilancia nacional, SE 1- 50, 2018 (en comparación a 2012-2017)



Graph 4. Argentina: Influenza and RSV distribution, EW 52, 2014-18
Distribución de virus influenza y VSR, SE 52, 2014-18

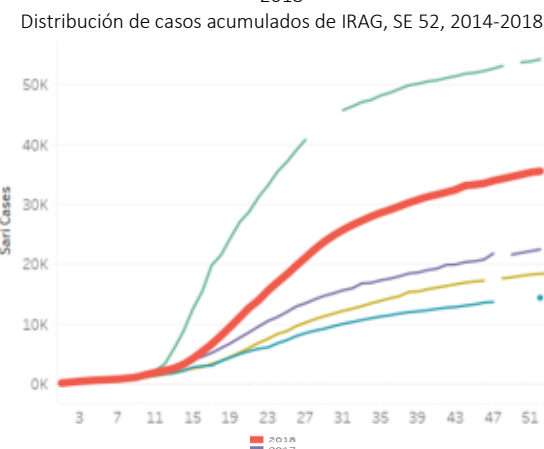


Graph 6. Argentina. Number of pneumonia cases from national surveillance by EW, EW 1-50, 2018 (compared to 2012-2017) /
Número de casos de neumonía de vigilancia nacional, SE 1- 50, 2018 (en comparación a 2012-2017)

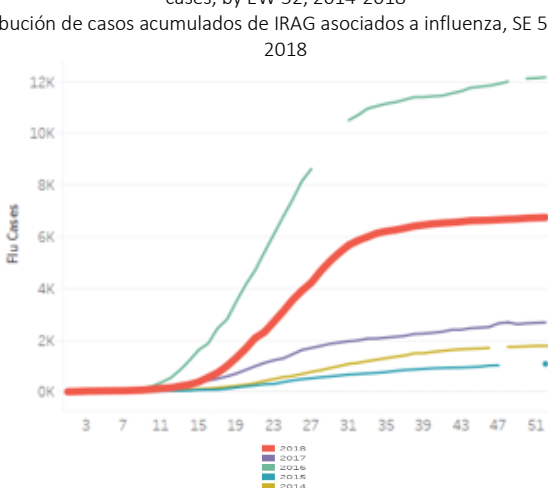


- In Brazil, during EW 52, cumulative SARI hospitalizations and deaths increased and were lower than in 2016 but higher than the other seasons for the same period (Graphs 1,2). During EW 52, the SARI case counts out of all hospitalizations were lower than in previous weeks and the 2015-2017 seasons (Graph 10). The cumulative number of influenza-associated SARI cases and SARI deaths were higher than the counts reported in 2017 and less than in 2016 (Graph 3, 4). During EW 52, a slight decrease in the detection of influenza positive cases was reported by the three NICs with influenza B predominating; while RSV detections increased in recent weeks (Graph 5-9). During EW 52, 8 states reported higher cumulative influenza-associated SARI/ILI case counts than the historic average 2014-2017 (≥ 2 standard deviation above): Bahia, Ceará, Maranhao, Pernambuco, Piaui, Rio Grande do Norte, Sergipe, and Tocantins (Graph 11). In EW 52, 8 states reported higher cumulative influenza-associated SARI/ILI deaths counts than the historic average 2014-2017 (> 1 standard deviation above): Bahia, Ceará, Maranhao, Pernambuco, Piaui, Rio Grande do Norte, Sergipe and Tocantins (Graph 12). / En Brasil, en la SE 52, las hospitalizaciones y los casos fallecidos por IRAG acumulados aumentaron y fueron menores que en 2016 pero superiores a las restantes temporadas para el mismo período (Gráficos 1, 2). Durante la SE 52, el recuento de casos de IRAG sobre el total de hospitalizaciones fue menor que las semanas previas y las temporadas 2015-2017 para el mismo período (Gráfico 10). El número acumulado de casos de IRAG por influenza y de casos fallecidos asociados a influenza fueron superiores a los recuentos de 2017 y menores a los recuentos reportados en 2016 (Gráficos 3, 4). En la semana 52, se ha detectado un ligero descenso de los casos positivos de influenza reportados por los tres NICs, con predominio de influenza B; en tanto las detecciones de VSR aumentaron en las últimas semanas (Gráficos 5-9). Durante la SE 52, 8 estados reportaron elevados recuentos acumulados de IRAG/ETI asociados a influenza en comparación al promedio histórico 2014-2017 (≥ 2 desviación estándar arriba): Bahia, Ceará, Maranhao, Pernambuco, Piaui, Rio Grande do Norte, Sergipe, y Tocantins (Gráfico 11). En la SE 52, 8 estados reportaron elevados recuentos acumulados de fallecidos por IRAG/ETI asociados a influenza en comparación al promedio histórico 2014-2017 (> 1 desviación estándar arriba): Bahia, Ceará, Maranhao, Pernambuco, Piaui, Rio Grande do Norte, Sergipe y Tocantins (Gráfico 12).

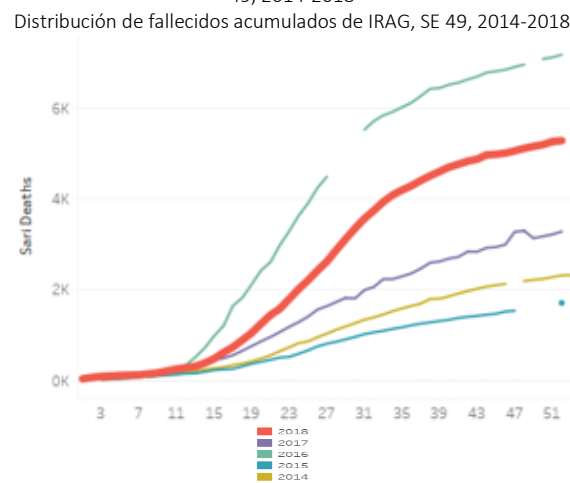
Graph 1. Brazil. Distribution of cumulative SARI-related cases, by EW 52, 2014-2018



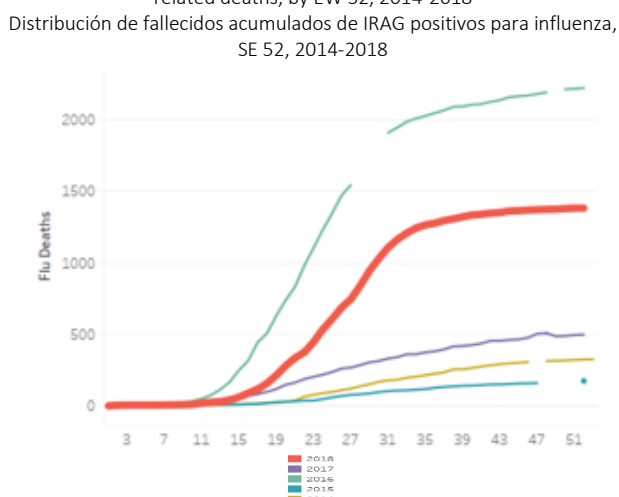
Graph 3. Brazil. Distribution of cumulative influenza-associated SARI-related cases, by EW 52, 2014-2018



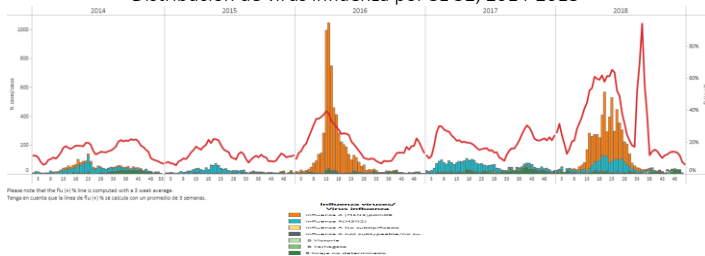
Graph 2. Brazil. Distribution of cumulative SARI-related deaths, by EW 49, 2014-2018



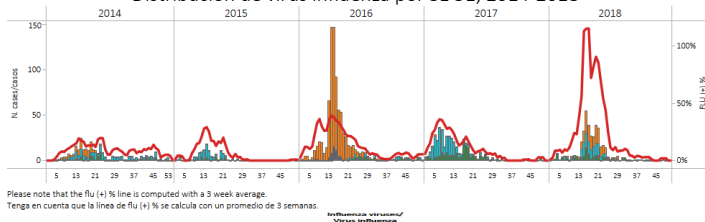
Graph 4. Brazil. Distribution of cumulative influenza-positive SARI-related deaths, by EW 52, 2014-2018



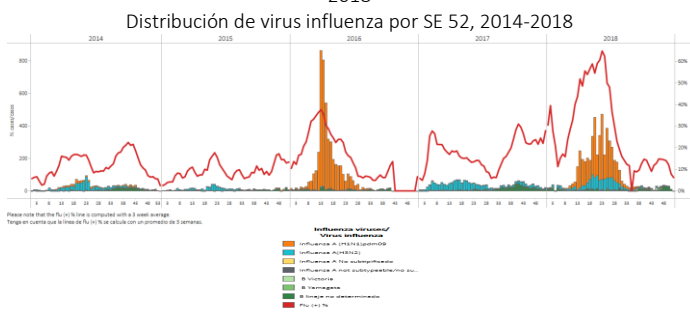
Graph 5. Brazil- All NICs. Influenza virus distribution by EW 52, 2014-2018
Distribución de virus influenza por SE 52, 2014-2018



Graph 7. Brazil - NIC IEC. Influenza virus distribution by EW 51, 2014-2018
Distribución de virus influenza por SE 51, 2014-2018

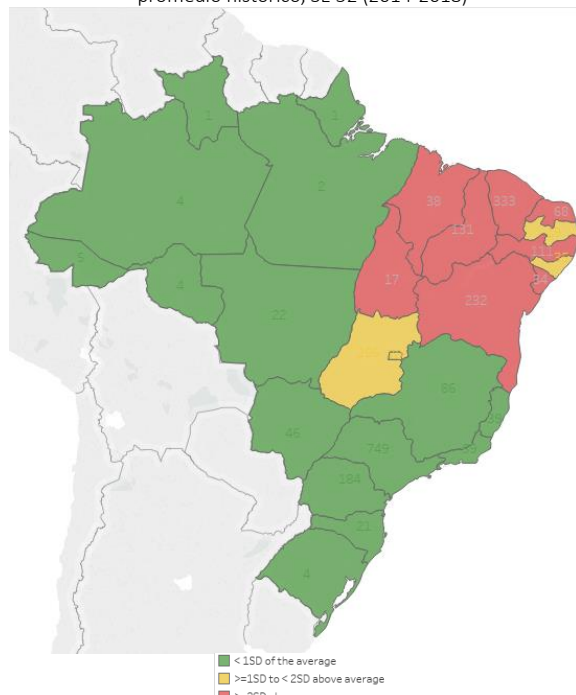


Graph 9. Brazil- NIC Adolfo Lutz. Influenza virus distribution by EW 52, 2014-2018

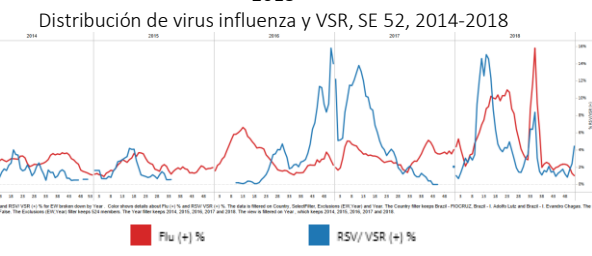


Graph 11. Brazil: Cumulative counts of influenza-associated SARI cases greater than historic average, EW 52 (2014-2018)

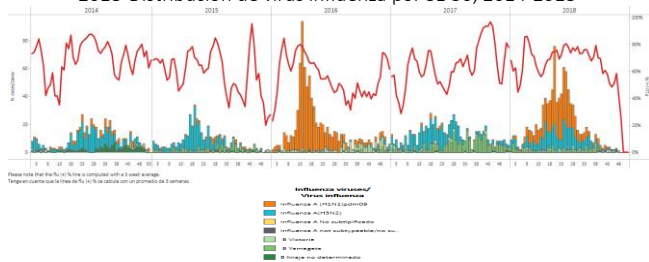
Recuentos acumulados de casos de IRAG asociados a influenza mayor al promedio histórico, SE 52 (2014-2018)



Graph 6. Brazil – All NICs: Influenza and RSV distribution, EW 52, 2014–2018

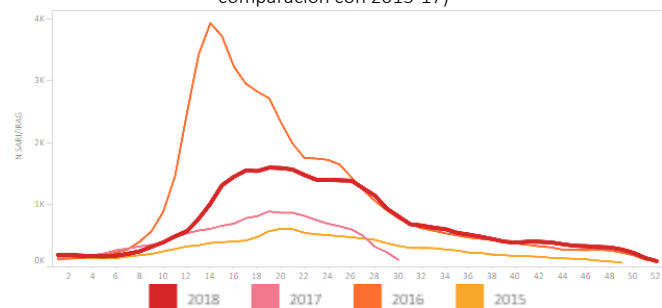


Graph 8. Brazil- NIC FIOCRUZ. Influenza virus distribution by EW 50, 2014-2018 Distribución de virus influenza por SE 50, 2014-2018



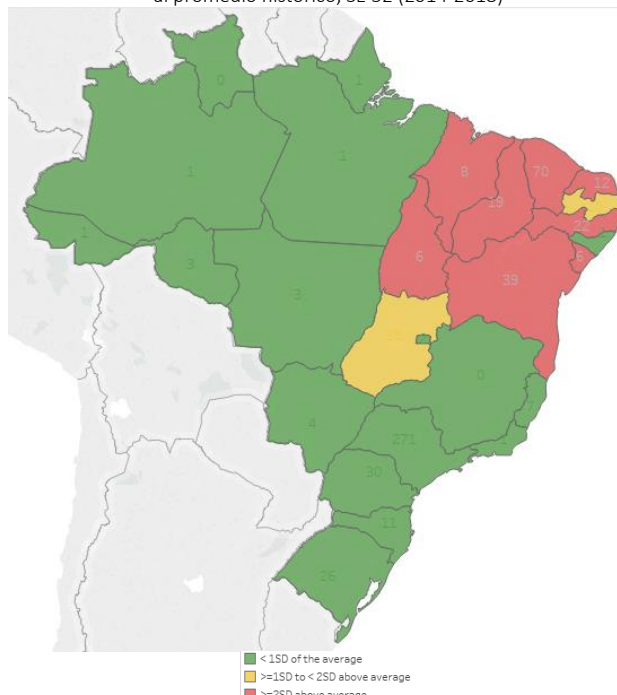
Graph 10. Brazil: Number of SARI cases out of all hospitalizations, by EW 52, 2018 (in comparison with 2015-17)

Número de casos IRAG de todas las hospitalizaciones, por SE 52, 2018 (en comparación con 2015-17)



Graph 12. Brazil: Cumulative count of influenza-associated SARI deaths greater than historic average, EW 52 (2014-2018)

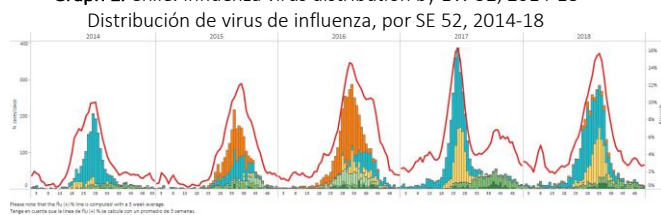
Recuentos acumulados de fallecidos por IRAG asociados a influenza mayor al promedio histórico, SE 52 (2014-2018)



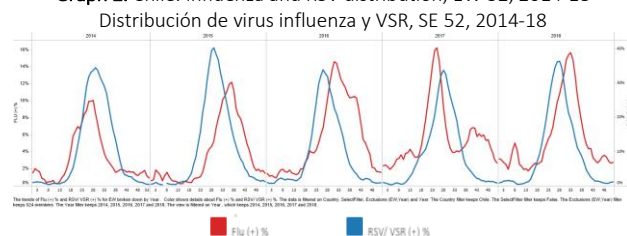
Chile

- During EW 52, at national level, the SARI cases slightly decreased from the previous weeks below the seasonal levels observed during 2015-2017 for the same period (Graph 4); while ILI activity decreased above the average epidemic curve (Graph 5). In EW 52, influenza activity decreased and remained below the historic average, with influenza B predominating (Graphs 1,3). RSV percent positivity remained at low levels and similar to the levels reported in 2017 for the same period (Graph 2). / Durante la SE 52, a nivel nacional, los casos de IRAG disminuyeron ligeramente respecto a las semanas previas bajo los niveles estacionales observados durante 2015-2017 para el mismo período (Gráfico 4), mientras que la actividad de ETI disminuyó sobre la curva epidémica promedio (Gráfico 5). En la SE 52, la actividad de influenza disminuyó y permaneció en el promedio histórico, con predominio de influenza B (Gráficos 1, 3). El porcentaje de positividad de VSR permaneció a niveles bajos y similar a los niveles reportados en 2017 para el mismo período (Gráfico 2).

Graph 1. Chile: Influenza virus distribution by EW 52, 2014-18

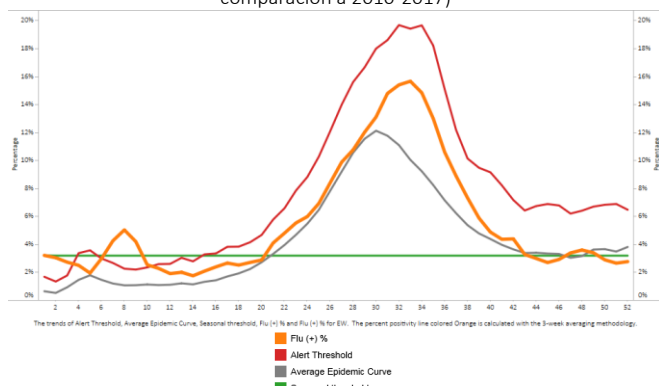


Graph 2. Chile: Influenza and RSV distribution, EW 52, 2014-18



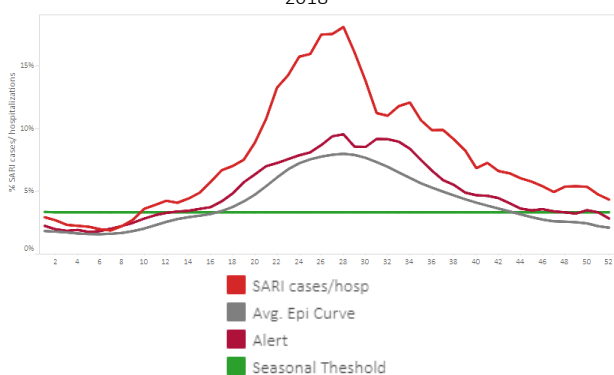
Graph 3. Chile: Baseline for the percent positivity for influenza, EW 52, 2018 (in comparison to 2010-2017)

Línea basal para el porcentaje de positividad de influenza, SE 52, 2018 (en comparación a 2010-2017)



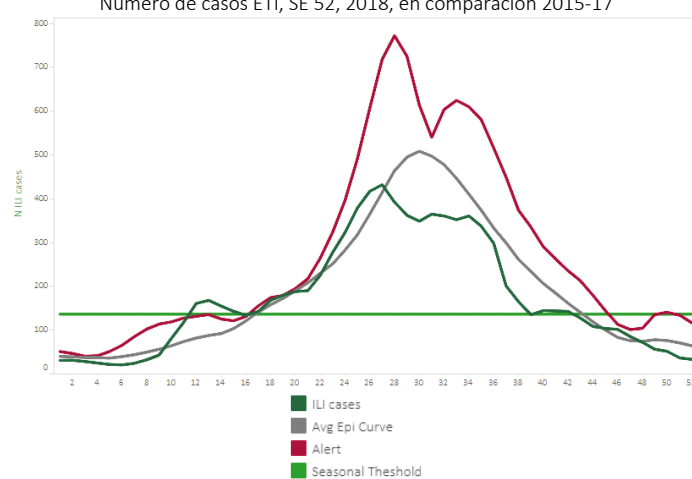
Graph 4. Chile. Percent of SARI cases from all hospitalizations, EW 52 2015-2018,

Porcentaje de casos IRAG por las hospitalizaciones totales, SE 52, 2015-2018



Graph 5. Chile. Number of ILI cases, EW 52, 2018, in comparison 2015-17

Número de casos ETI, SE 52, 2018, en comparación 2015-17



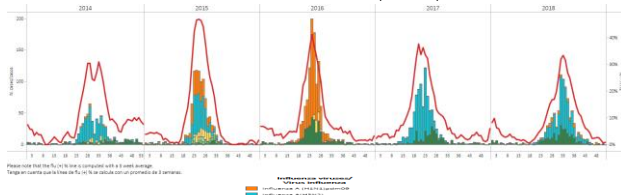
*To view more epi data, view [here](#). / Para ver mas datos epi, vea [aquí](#).

Paraguay

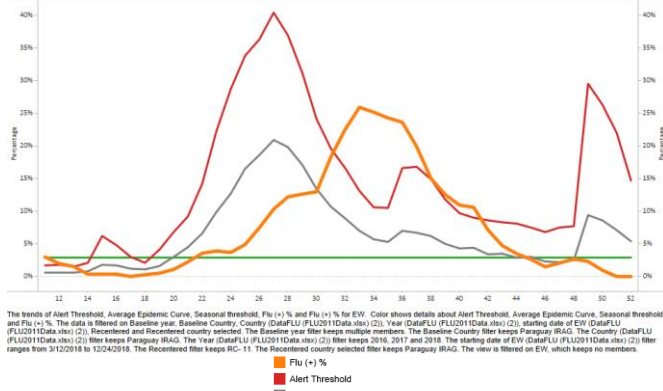
- During EW 52, at national level, the SARI cases decreased below the seasonal threshold (Graph 5), with a predominance among the under 5 and above 60 years of age population. In EW 52, the number of SARI deaths out of total deaths

decreased from the prior week (Graph 6) mainly among the 60 years of age and older. ILI activity remained at seasonal levels after peaking later than in the previous 2016-2017 seasons (Graph 4). In EW 52, influenza activity remained low as compared to previous weeks with few influenza A(H3N2) and A(H1N1)pdm09 detections (Graphs 1, 3); RSV positivity decreased (Graph 2). / Durante la SE 52, a nivel nacional, los casos de IRAG disminuyeron por debajo del umbral estacional (Gráfico 5), con predominio entre la población menor de 5 años y mayor de 60 años. En la SE 52, el número de muertes por IRAG del total de muertes disminuyó en relación a la semana previa (Gráfico 6) principalmente entre los mayores de 60 años. La actividad de ETI permaneció bajo los niveles estacionales luego de un pico más tardío que en temporadas anteriores de 2016-2017 (Gráfico 4). En la SE 52, la actividad de influenza permaneció baja en comparación con las semanas previas con contadas detecciones de influenza A(H3N2) y A(H1N1)pdm09 (Gráficos 1, 3); la positividad de VSR disminuyó (Gráfico 2).

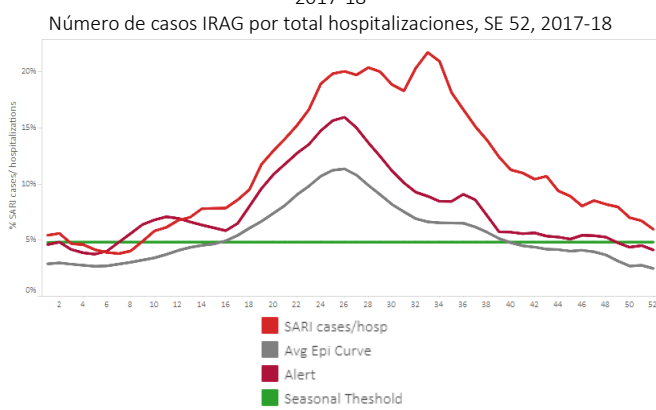
Graph 1. Paraguay: Influenza virus distribution EW 52, 2014-18
Distribución de virus de influenza, SE 52, 2014-18



Graph 3. Paraguay SARI sentinel sites: Baseline for the percent positivity for influenza, EW 52, 2018 (in comparison to 2010-2017)
Línea basal para el porcentaje de positividad de influenza, SE 52, 2018 (en comparación a 2010-2017)

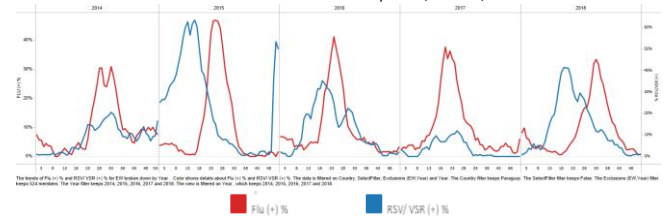


Graph 5. Paraguay: Number of SARI cases per total hospitalizations, EW 52, 2017-18
Número de casos IRAG por total hospitalizaciones, SE 52, 2017-18

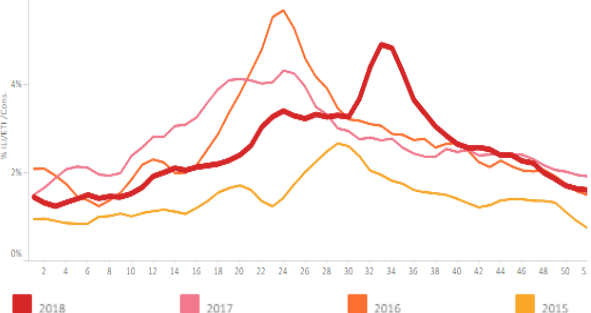


*To view more epi data, view [here](#). / Para ver mas datos epi, vea [aquí](#).

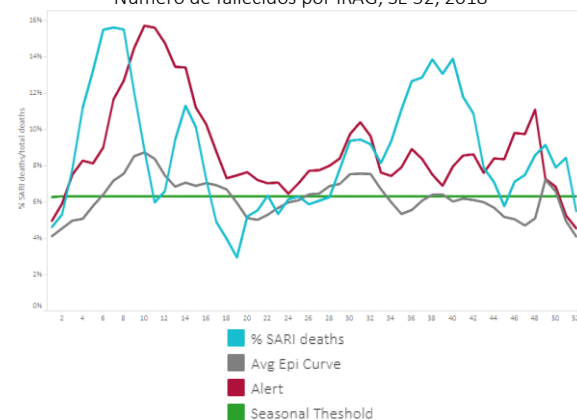
Graph 2. Paraguay: Influenza and RSV distribution, EW 52, 2014-18
Distribución de virus influenza y VSR, SE 52, 2014-18



Graph 4. Paraguay: Proportion of ILI consultations, EW 52, 2018 (as compared to 2015-2017)/
Proporción de consultas por ETI, SE 52, 2018 (en comparación a 2015-2017)



Graph 6. Paraguay: Number of SARI deaths per total deaths, EW 52, 2018.
Número de fallecidos por IRAG, SE 52, 2018

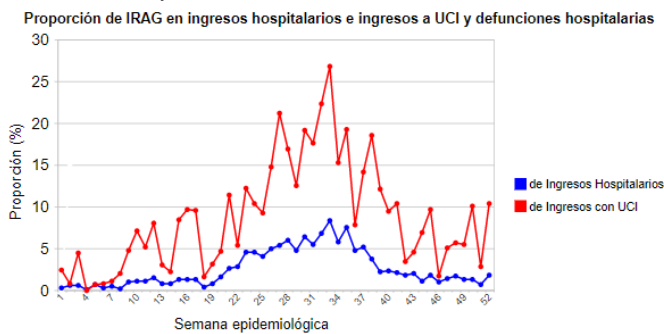


Uruguay

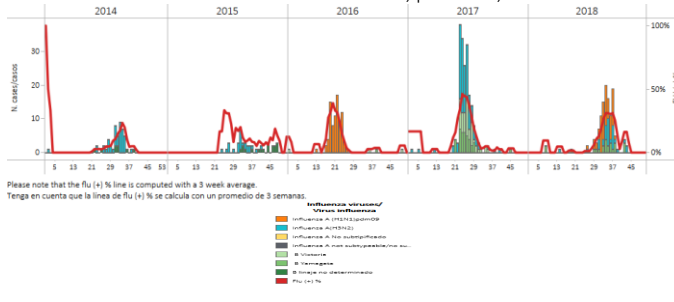
- In EW 51, decreased influenza activity was reported (Graphs 3, 4); with decreased RSV positivity (Graph 2). During EW 52, the proportion of SARI cases among all hospitalizations, the proportion of SARI case requiring ICU admission and the proportion of SARI-associated cases slightly increased from previous weeks (Graph 1, 5). / Durante la SE 51 se reportó menor actividad de influenza (Gráficos 3, 4); con positividad de VSR disminuida (Gráfico 2). Durante las SE 52, la

proporción de casos de IRAG del total de hospitalizaciones, la proporción de casos de IRAG con admisión a UCI y la proporción de fallecidos por IRAG aumentaron ligeramente en relación a las semanas anteriores (Gráfico 1).

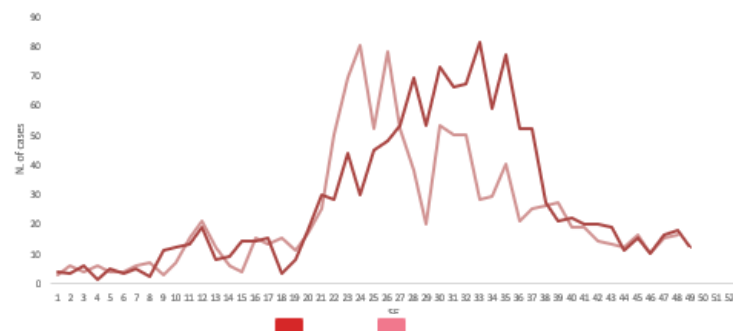
Graph 1. Uruguay: % SARI cases requiring ICU admission, EW 52, 2018;
Porcentaje de casos de IRAG admitidos a UCI, SE 52, 2018



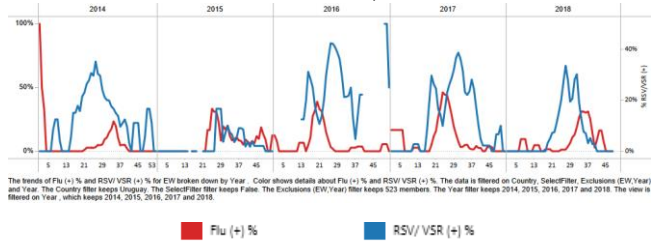
Graph 3. Uruguay: Influenza virus distribution by EW 51 2018
Distribución de virus de influenza, por SE 51, 2018



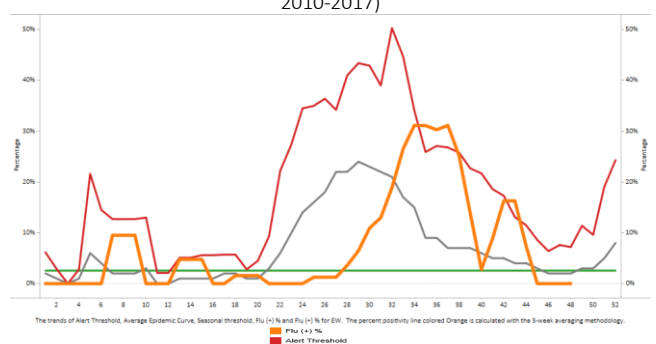
Graph 5. Uruguay: Percent of SARI cases per total hospitalizations, EW 49, 2017-2018
Porcentaje de casos IRAG por total hospitalizaciones, SE 49, 2017-2018



Graph 2. Uruguay: Influenza and RSV distribution, EW 51, 2014-18
Distribución de virus influenza y VSR, SE 51 2014-18

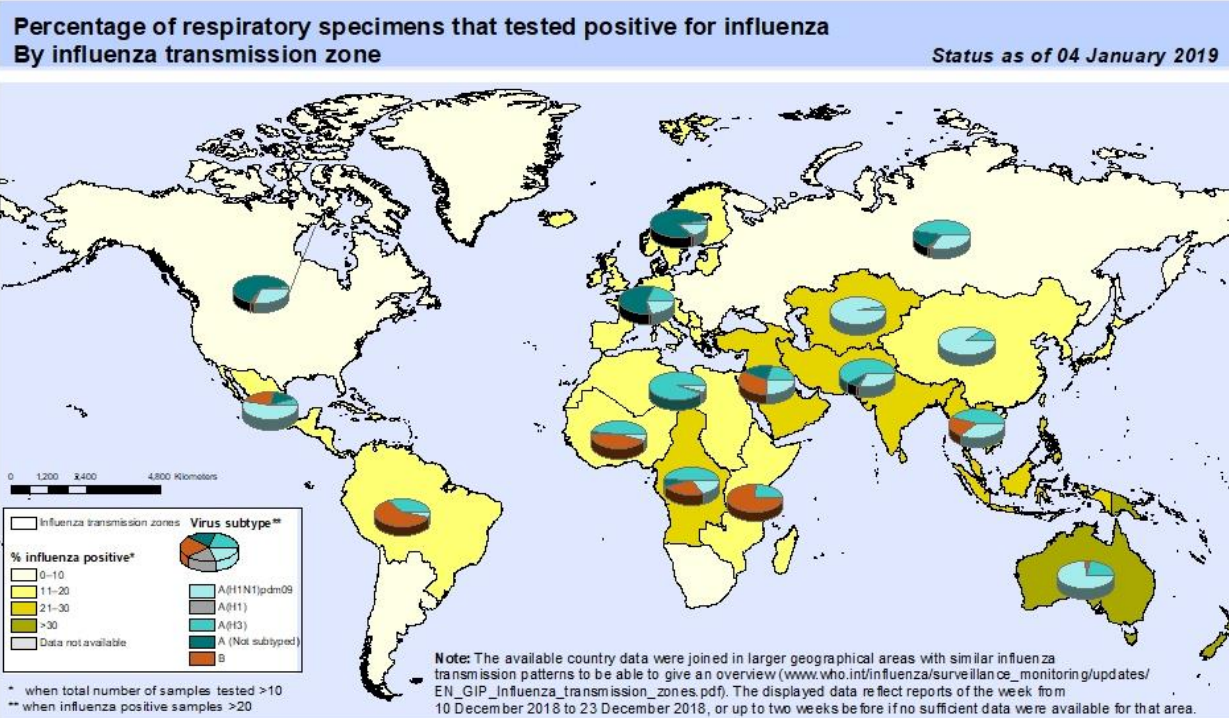


Graph 4. Uruguay: Percent positivity for influenza, EW 51, 2018 (in comparision to 2010-2017)
Porcentaje de positividad de influenza, SE 51, 2018 (en comparación a 2010-2017)



In the temperate zone of the northern hemisphere influenza activity continued to increase slowly. In North America influenza activity continued to increase overall with influenza A(H1N1)pdm09 predominating, while both influenza A viruses circulated in Europe. In Western Asia, some countries reached medium levels of influenza intensity. In Southern Asia, influenza detections rose sharply in recent weeks mainly due to increased influenza A(H3N2) detections in Iran and continued influenza A(H1N1)pdm09 detections in India. In the temperate zones of the southern hemisphere, influenza activity returned to inter-seasonal levels with exception of some parts in Australia. Worldwide, seasonal influenza A viruses accounted for the majority of detections. / En la zona templada del hemisferio norte, la actividad de influenza continuó aumentando lentamente. En América del Norte, la actividad de influenza siguió aumentando en general, predominando influenza A(H1N1) pdm09, mientras que ambos virus influenza A circularon en Europa. En Asia occidental, algunos países alcanzaron niveles medios de intensidad de influenza. En el sur de Asia, las detecciones de influenza aumentaron considerablemente en las últimas semanas debido principalmente al aumento de las detecciones de influenza A(H3N2) en Irán y las continuas detecciones de influenza A(H1N1) pdm09 en India. En las zonas templadas del hemisferio sur, la actividad de influenza regresó a niveles interestacionales, con excepción de algunas partes en Australia. En todo el mundo, los virus estacionales de influenza A representaron la mayoría de las detecciones.

National Influenza Centres (NICs) and other national influenza laboratories from 102 countries, areas or territories reported data to FluNet for the time period from 10 December to 23 December 2018. The WHO GISRS laboratories tested more than 97188 specimens during that time period. 12945 were positive for influenza viruses, of which 12148 (93.8%) were typed as influenza A and 797 (6.2%) as influenza B. Of the sub-typed influenza A viruses, 5823 (77%) were influenza A(H1N1)pdm09 and 1739 (23%) were influenza A(H3N2). Of the characterized B viruses, 40 (40.4%) belonged to the B-Yamagata lineage and 59 (59.6%) to the B-Victoria lineage. / Los Centros Nacionales de Influenza (NICs) y otros laboratorios nacionales de influenza de 102 países, áreas o territorios, reportaron datos a FluNet en el período del 10 de diciembre al 23 de diciembre de 2018. Los laboratorios de la OMS GISRS realizaron pruebas a más de 97188 muestras durante ese período. 12945 tuvieron resultado positivo para virus influenza, de los cuales 12148 (93,8%) fueron tipificados como influenza A y 797 (6,2%) como influenza B. De los virus influenza A subtipificados, 5823 (77%) fueron influenza A(H1N1)pdm09 y 1739 (23%) fueron influenza A(H3N2). De los virus influenza B caracterizados, 40 (40,4%) fueron del linaje B-Yamagata y 59 (59,6%) fueron del linaje B-Victoria.



The boundaries and names shown and the designations used on this map do not imply the expression of any opinion whatsoever on the part of the World Health Organization concerning the legal status of any country, territory, city or area or of its authorities, or concerning the delimitation of its frontiers or boundaries. Dotted and dashed lines on maps represent approximate border lines for which there may not yet be full agreement.

Data Source:
 Global Influenza Surveillance and Response System (GISRS),
 FluNet (www.who.int/flu)

 **World Health Organization**
 © WHO 2019. All rights reserved.

ACRONYMS

ARI	Acute Respiratory Infection
CARPHA	Caribbean Public Health Agency
CENETROP	Centro de Enfermedades Tropicales (Santa Cruz, Bolivia)
EW	Epidemiological Week
ILI	Influenza-like illness
INLASA	Instituto Nacional de Laboratorios de Salud (La Paz, Bolivia)
INS	Instituto Nacional de Salud
ORV	Other respiratory viruses
SARI	Severe acute respiratory infection
SEDES	Servicio Departamental de Salud (Bolivia)
ICU	Intensive Care Unit
RSV	Respiratory Syncytial Virus

ACRÓNIMOS

CARPHA	Agencia de Salud Pública del Caribe/Caribbean Public Health Agency
CENETROP	Centro de Enfermedades Tropicales (Santa Cruz, Bolivia)
ETI	Enfermedad Tipo influenza
INLASA	Instituto Nacional de Laboratorios de Salud (La Paz, Bolivia)
INS	Instituto Nacional de Salud
IRA	Infección Respiratoria Aguda
IRAG	Infección Respiratoria Aguda grave
OVR	Otros virus respiratorios
SE	Semana epidemiológica
SEDES	Servicio Departamental de Salud (Bolivia)
UCI	Unidad de Cuidados Intensivos
VSR	Virus Sincitrial Respiratorio